

Введение в физику сверхпро ВОДИМОСТИ

Больгинов Виталий Валериевич

Лекция 10

Нестационарные эффекты в сверхпроводниках

Режим течения потока. Эксперимент Мартиноли.

Слабая сверхпроводимость. Эффекты Джозефсона. Нестационарный эффект Джозефсона. Ступени Шапиро.

Взаимодействие вихрей. Пиннинг

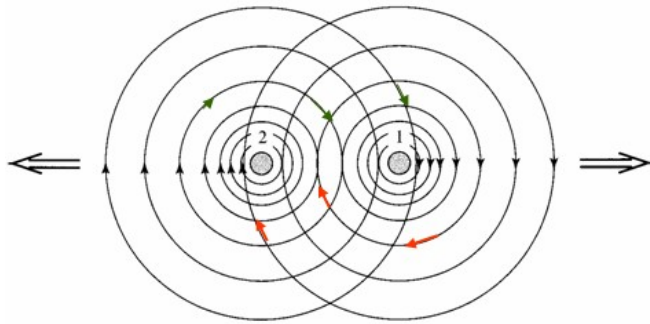
«сила Лоренца»

$$\mathbf{f}_L = [\mathbf{j} \times \Phi_0] \quad (5.9)$$

$$(f_L = ne [\mathbf{v} \times \mathbf{B}])$$

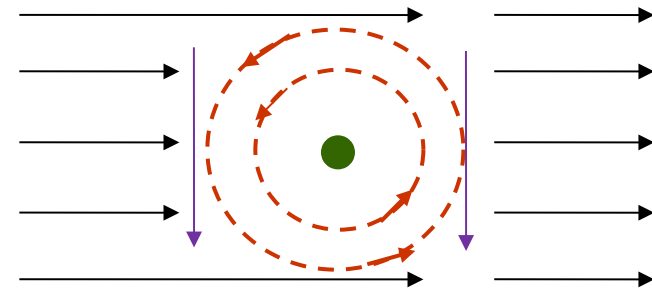
сила взаимодействия сверхтока с плотностью j и единицы длины вихря

«Сила Лоренца» – гидродинамическое взаимодействие «сверхтекучих жидкостей»–сверхтоков



Одноименные вихри
отталкиваются.
Употребляются
термины
«вихрь/антивихрь»

Пиннинг.



$$\rho v^2/2 + p = \text{const}$$

$$\Delta \epsilon \sim (\mu_0 H_{cm}^2/2) V$$

Колумнарный:

$$j_p \sim H_{cm} / (4 \sqrt{2} \lambda) \sim j_{gl}$$

$$H_{cm} \sim 10^3 \text{ Э} = 10^5 \text{ А/м}, \lambda \sim 100 \text{ нм} \rightarrow$$

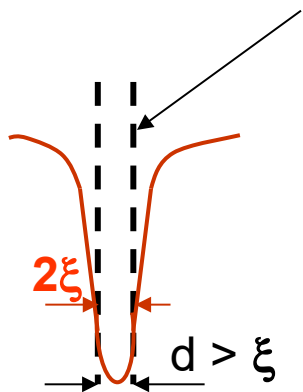
$$j \sim 10^{12} \text{ А/м}^2 = 10^8 \text{ А/см}^2$$

Точечный:

$$j_p = (\Phi_0/12\mu_0) \kappa^{-2} \xi^{-2} / 1 \text{ м} \sim 10^5 \text{ А/см}^2$$

Коллективный:

$$j_p < (n_d/n_v)(\Phi_0/12\mu_0) \kappa^{-2} \xi^{-2} \sim 1 / \text{В}$$



$$F_p = - \partial \epsilon / \partial x$$

$$F_p \sim - \Delta \epsilon / \xi$$

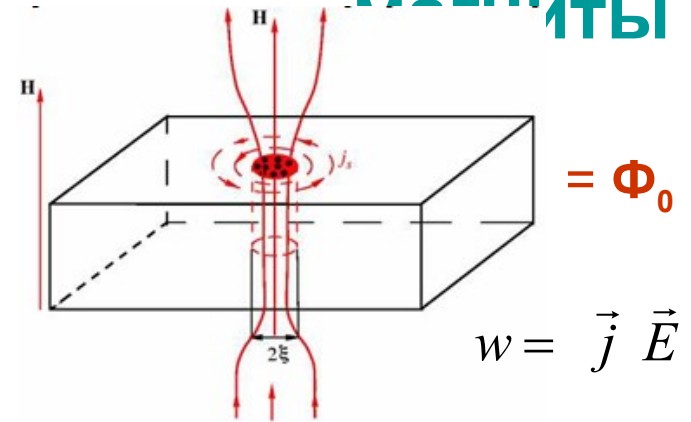
$$F_p \sim [j_p \times \Phi_0]$$

$$j_s > j_p$$

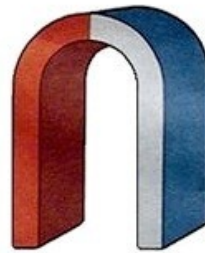
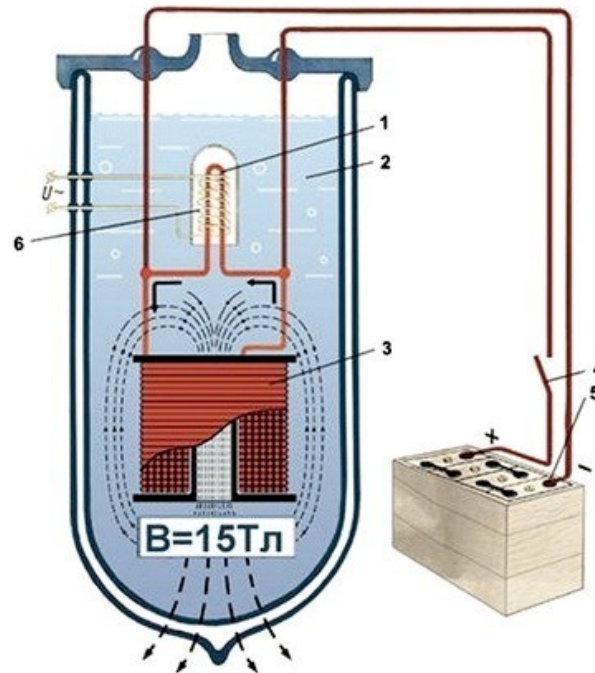
???

Сверхпроводящие

МАГНИТЫ

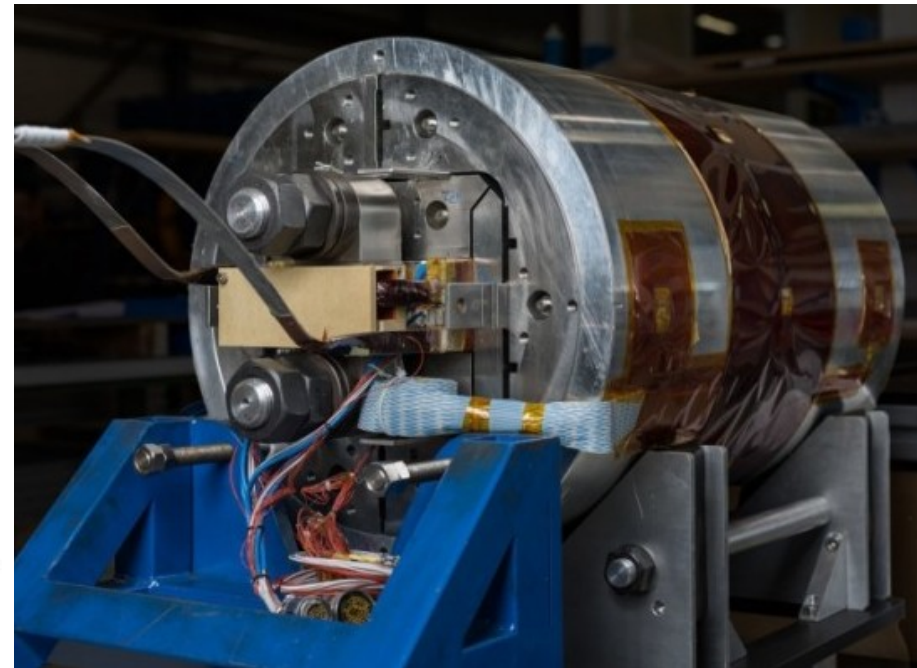


$$\frac{dx}{dt} \Rightarrow \frac{d\Phi}{dt} \Rightarrow \vec{E} \Rightarrow w$$



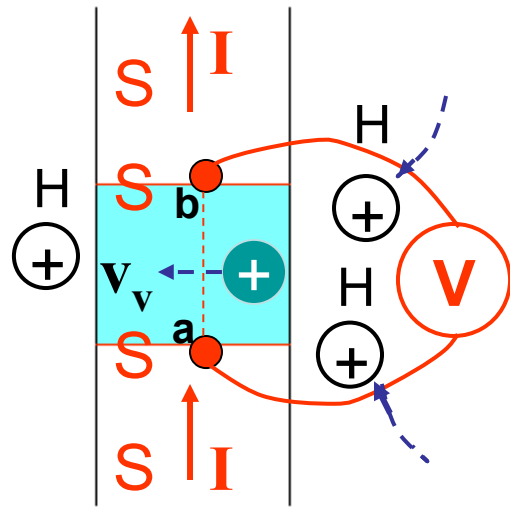
$B=0,1\text{Tл}$

1. Отвешление
2. Жидкий гелий
3. Соленоид
4. Рубильник
5. Источник постоянного тока
6. Обмотка для подогрева

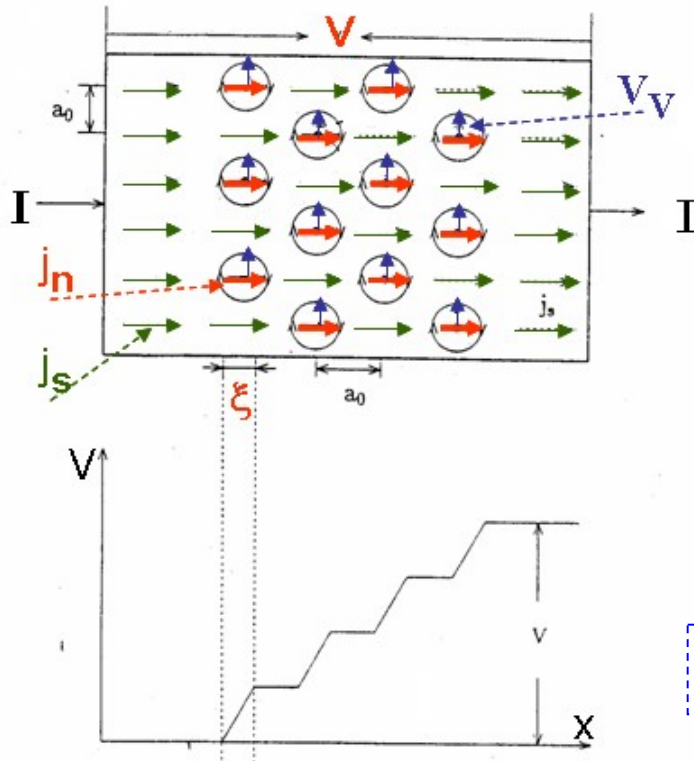


Электрическое поле в сверхпроводнике.

Рассмотрим сверхпроводящую пластину СП-2, находящуюся в поперечном магнитном поле $H > H_{c1}$. По пластине пропускается ток I от внешнего источника, превышающий ток пиннинга. Под действием тока I вихри начинают двигаться в поперечном направлении.



$$I = I_s + I_n = I_s + V/R_{ff}$$



Вопрос: каков характер этого движения, какими эффектами оно сопровождается, как описывается?

$$N = \frac{BwL}{\Phi_0} \xrightarrow{j_s > j_p} N = 0$$

$$U = \frac{\Delta\Phi}{\Delta t} = \frac{BwL}{(w/v)} = (Bv)L$$

$$E = Bv$$

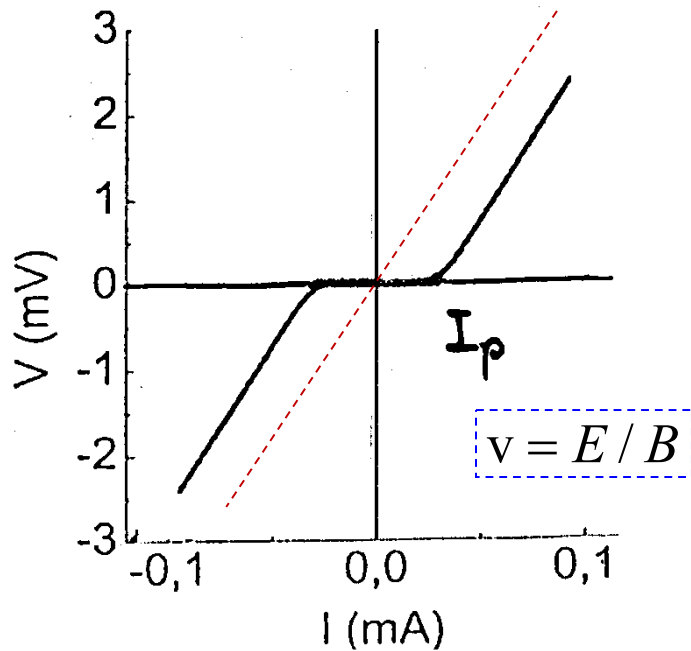
$$E = 1 \text{ мкВ/см}, B = 1 \text{ Тл} \quad \langle v \rangle = \{10^{-4} / 1\} \text{ м/с} = 10^{-2} \text{ см/с}$$

$$\langle v \rangle = E / B$$

$$E = 1 \text{ мкВ} / 100 \text{ мкм}, B = 100 \text{ Гс}$$

$$\langle v \rangle = \{10^{-2} / 10^{-2}\} \text{ м/с} = 1 \text{ см/с}$$

Режим течения потока



Flux-flow – стационарный режим ($v = \text{const}$)

Вязкое трение – $f_{mp} = \eta v$ (на ед. длины)

Баланс сил – $f_{mp} + f_p = f_L \rightarrow \eta v = (j_s - j_p) \Phi_0$

$$(j_s - j_p) \Phi_0 = \eta [E/B] \rightarrow j_s - j_p = \{\eta B / \Phi_0\} E$$

Вязкость

$$\eta = \eta(H, T)$$

$$j_s \rho_{fl} = E,$$

$$\rho_{fl} = \{\Phi_0 / \eta B\}$$

$$\mu_0 H = \Phi_0 / a^2, \quad H_{c2} \cong \Phi_0 / \mu_0 \xi^2$$

$$\eta = \Phi_0 / \rho_{fl} \mu_0 H$$

Больше $\rho_{fl} \rightarrow$ меньше вязкость

Низкие температуры (эксперимент):

$$\rho_{fl} = \{\Phi_0 / \eta B\} \sim 1/B, \quad \eta = \text{const} (H, T = 0)$$

$$H \rightarrow H_{c2}(0): \quad \eta(H_{c2}) = \Phi_0 / \rho_n \mu_0 H_{c2}$$

$$\rho_{fl} \mu_0 H = \rho_n \mu_0 H_{c2}$$

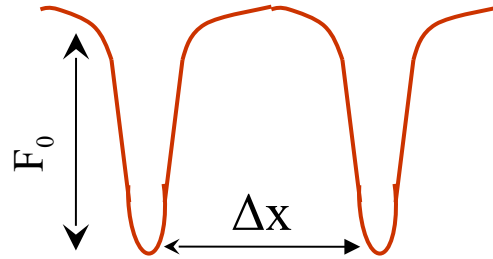
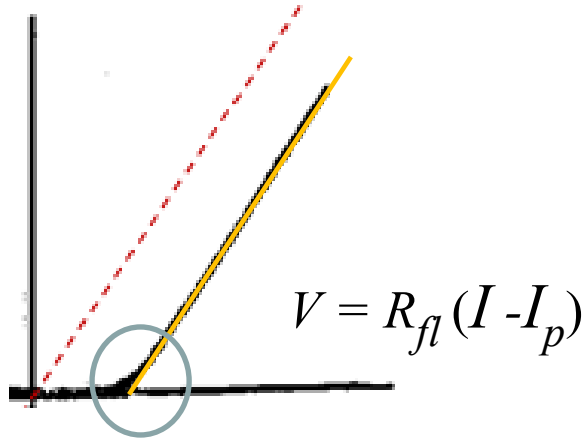
$$\rho_{fl}(0) = \rho_n \{H / H_{c2}(0)\}$$

$$\rho_{fl} = \rho_n (H / H_{c2}) = \rho_n (\xi^2 / a^2) \quad *L / L$$

где a – период вихревой решетки

Сопротивление течения потока пропорционально объему сверхпроводника, занятого нормальными кодами, где и происходит диссипация!!!

Крип абрикосовских вихрей.



$$\omega = \omega_0 \exp\{-U_0/kT\}$$

Вероятность перехода
справа налево за время Δt :

$$\omega \Delta t = \Delta t (\omega_{LR} - \omega_{RL})$$

Смещение = Δx

Сверхток j_s проникает вглубь СП2 только за счет возникновения неоднородного распределения вихрей: $j_s = (1/\mu_0) dB(x)/dx = \text{const}$

$B(x)$ -линейно меняется, т.е. возникает линейный наклон потенциала

$$g(x) = f(x) - B(x)H,$$

$$F_0 \rightarrow F_0 \pm \Delta F$$

$$\Delta F \sim dx j_p \Phi_0$$

$$\omega = \exp(-F_0/kT) (\exp\{\Delta F(I)/kT\} - \exp\{-\Delta F(I)/kT\}) =$$

$$= \exp(-F_0/kT) * \text{sh} \{ \Delta F(I) / kT \}$$

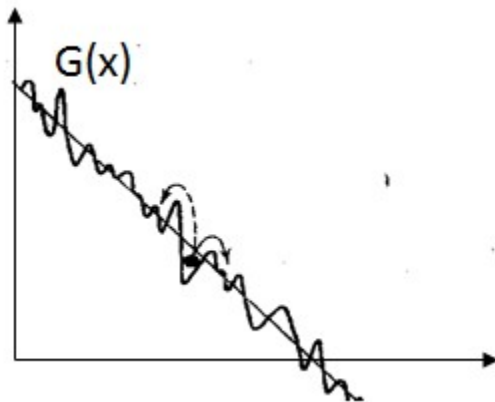
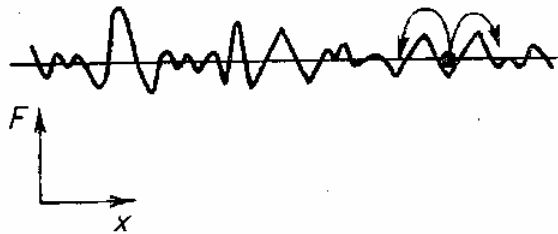
Смещение за время Δt :

$$\Delta x = \langle dx \rangle \Delta t (\omega_{LR} - \omega_{RL})$$

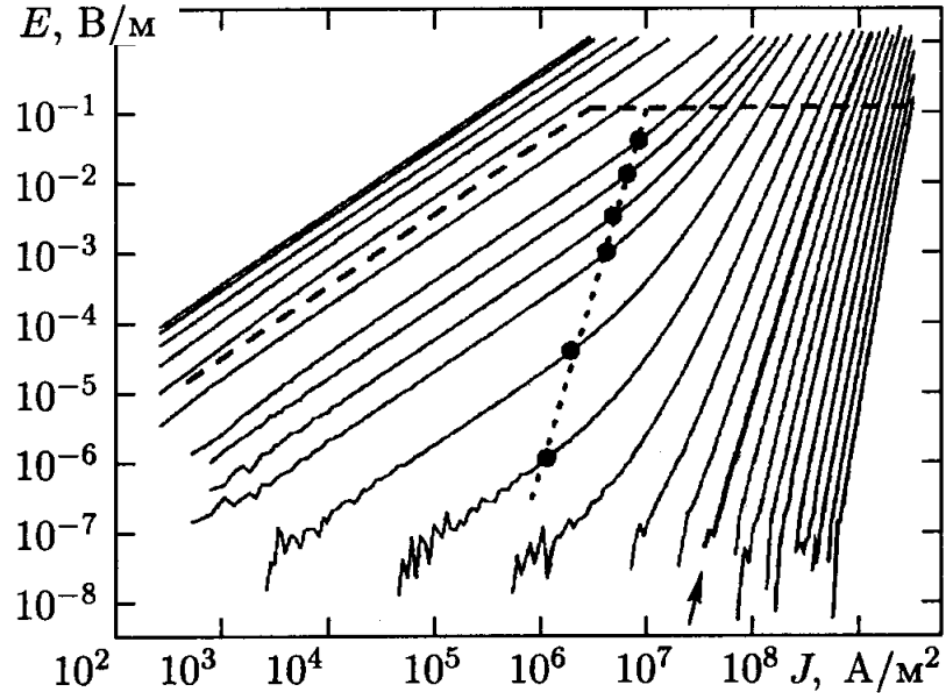
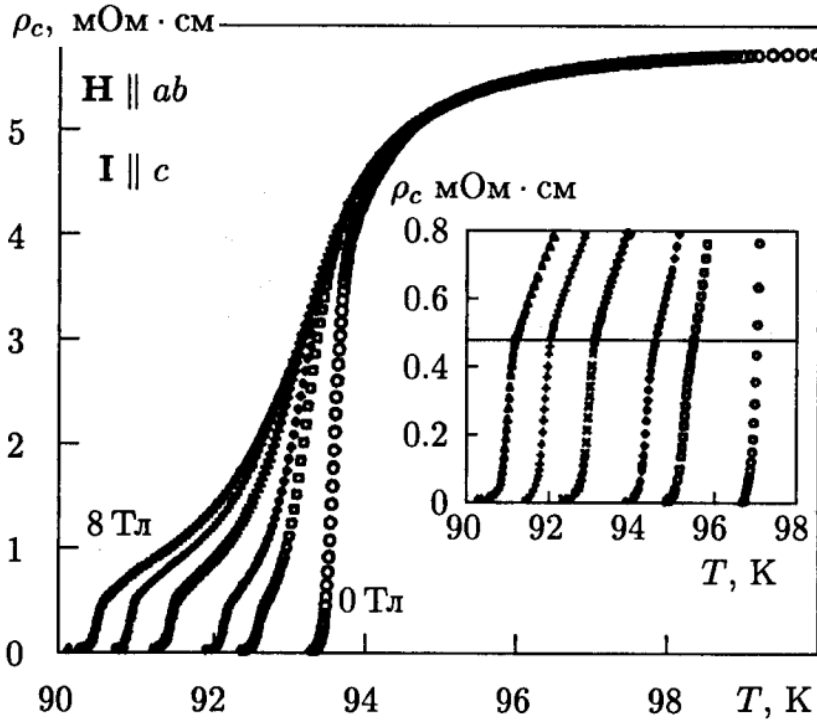
$$\text{Скорость: } v_v = \Delta x / \Delta t = \langle dx \rangle * (\omega_{LR} - \omega_{RL})$$

$$E = B v_v \sim \langle dx \rangle * \exp\{-F_0/kT\} \text{sh} \{ \Delta F(I) / kT \}$$

$$\text{ВТСП: } E \sim \langle dx \rangle * \exp\{-F_0/kT\} \langle dx \rangle j_p \Phi_0 / kT$$



Крип вихрей в ВТСП



значениях плотности тока. Оказывается возможным [126] представить совокупность всех этих данных единым образом при помощи двух безразмерных функций $\mathcal{E}_{\pm}(x)$, соответствующих областям выше и ниже T_g :

$$\frac{E}{j\rho_f} \sim R\left(\frac{T-T_g}{T_g}\right) \mathcal{E}_{\pm}\left(\frac{j}{j_*}\right), \quad \text{где } j_* \propto |T-T_g|^{\beta_j}, \quad (42.8)$$

а безразмерные «скейлинговые» функции $\mathcal{E}_{\pm}(x)$ имеют асимптотики

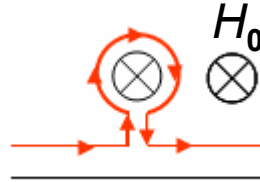
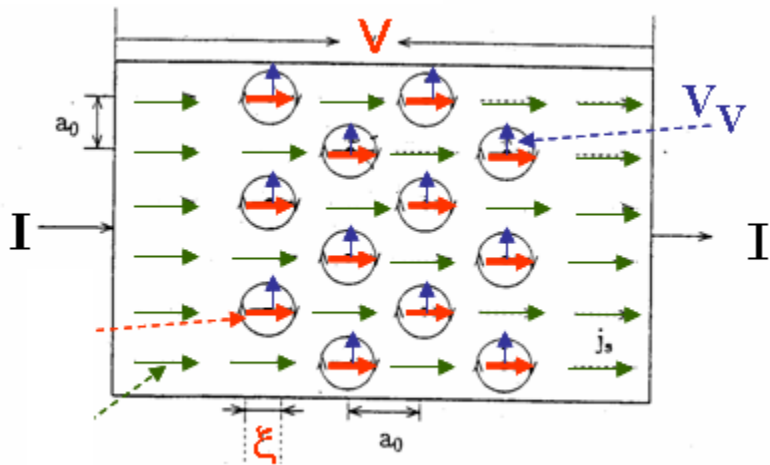
$$\mathcal{E}_{\pm}(x)|_{x \rightarrow \infty} \propto x^{\alpha_j}, \quad \mathcal{E}_{+}(x \rightarrow 0) = \text{const}, \\ \mathcal{E}_{-}(x \rightarrow 0) \propto e^{-1/x^{\mu}}. \quad (42.9)$$

$$E = BV_v \sim \exp\{-F_0/kT\} \text{sh}\{\Delta F(I)/kT\}$$

Функция $R(y)$ также ведет себя степенным образом, а показатель степени определяется тем, что ВАХ универсальны (т. е. слабо зависят от $T - T_g$) при относительно больших токах: из условия сокращения зависящих от T множителей в (42.8) при $j \gg j_*$ получаем, учитывая (42.9), что $R(y) \propto y^{\alpha_j \beta_j}$. Анализ ВАХ из эксперимента [126] приводит к значениям показателей $\alpha_j \simeq 4.0$ и $\beta_j \simeq 3.3$.

Масштабно-инвариантное поведение (scaling) описанного выше типа характерно для фазовых переходов II рода с сильно развитыми флуктуациями [28, 34]. Обычно свойства таких фазовых

“Квантовая природа” напряжения в сверхпроводнике.



$$N = \frac{BwL}{\Phi_0} \longrightarrow N = 0 \quad ?$$

Движение магнитного потока (вихрей) под действием транспортного тока (“силы Лоренца” $F_L = [j_s \times \Phi_0]$) приводит к появлению фарадеевской эдс $\varepsilon = d\Phi/dt$. Но такую эдс в замкнутой цепи измерить невозможно: сколько потока входит в измерительный контур вольтметрической цепи, столько и выходит из него в виде вихрей через образец, создавая $\varepsilon = -d\Phi/dt$, так что **средняя фарадеевская эдс = 0 !!!** **В сверхпроводнике есть дополнительный источник напряжения квантовой природы !!!**

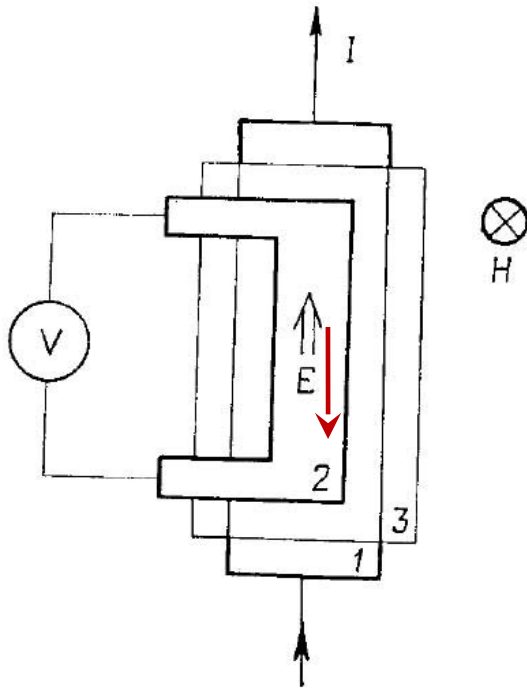


Рис 1. Схема опыта Гьевера:
1 — первичная пленка; 2 — вторичная пленка; 3 — изолятор.

Сверхпроводящий трансформатор:
напряжение другого знака

Giaever I. “Magnetic coupling between two adjacent type-2 superconductors” Phys. Rev. Lett. v. 15 no 21 p 825 (1966)

Эксперимент Каплуненко-Москвина-Шмидта

Использовался локальный источник
вращающегося магнитного поля
(магнитное пятно).

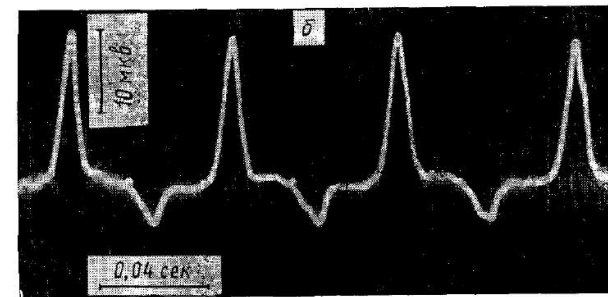
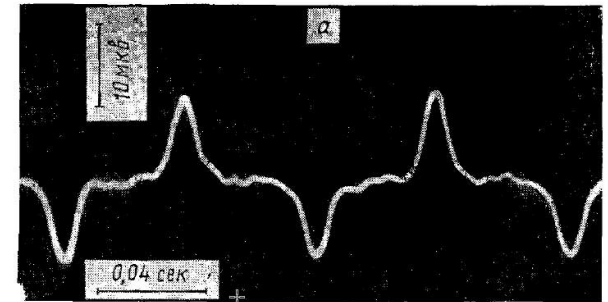
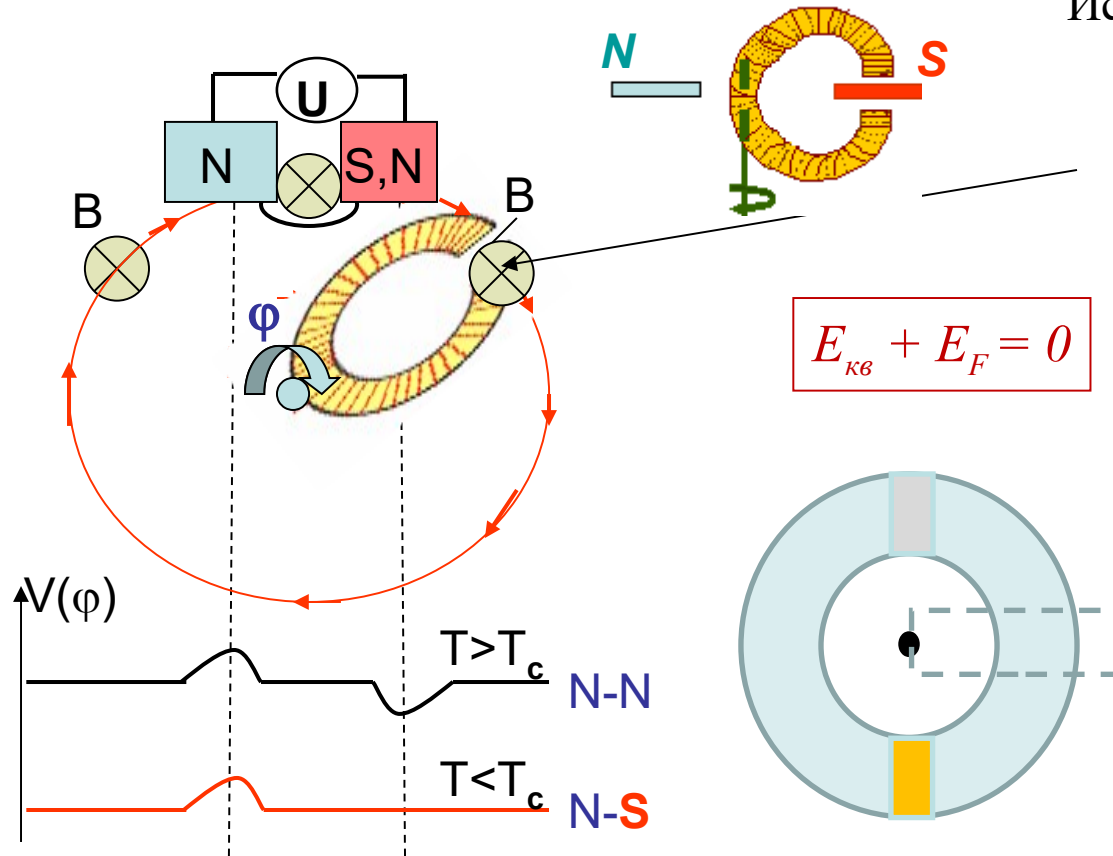


Рис. 4. Осциллограммы от фольг тантала и меди при $T = 4.42$ (а); 4,38 К (б) и $T_c = 4,4$ К (в). На усилителе включен фильтр граничных частот 9—0,1 кГц.

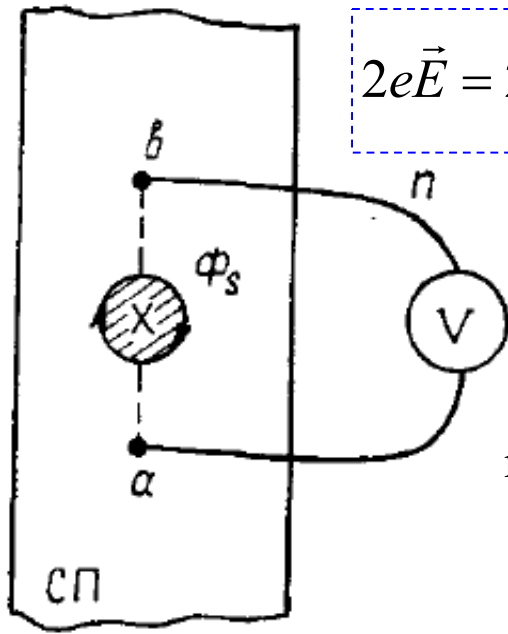
В.К. Каплуненко, С.И. Москвин, В.В. Шмидт. О природе напряжения, возникающего при движении магнитного потока в сверхпроводниках. Физика низких температур 11, 846 (1985)

Реализация в ВТСП:

C.W. Bumby, Zhenan Jiang, J.G. Storey, A.E. Pantoja and R.A. Badcock. IEEE Trans. Appl. Supercond. (2016)

Пик напряжения появлялся **ТОЛЬКО** при прохождении нормальной пленки!

Обобщим первое уравнение Лондонов



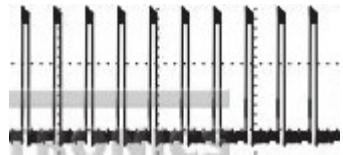
$$2e\vec{E} = 2m \frac{d\vec{v}}{dt}$$

$$\hbar \nabla \theta = 2m\vec{v} + 2e\vec{A}$$

rot :

$$\text{rot } \vec{E} = \frac{d}{dt} \left[\frac{\Phi_0}{2\pi} \text{rot} \nabla \theta \right] - \frac{\partial \vec{B}}{\partial t} \Rightarrow \oint E d\vec{l} = -\frac{d\Phi}{dt} + \frac{\Phi_0}{2\pi} \frac{d}{dt} \left[\oint \text{rot} \nabla \theta \right]$$

$$U = \frac{\Phi_0}{2\pi} \frac{d}{dt} \left[\oint \text{rot} \nabla \theta \right] = \Phi_0 \frac{d}{dt} \left[\oint \sum \delta(\vec{r}_i) \right]$$



$$\oint \text{rot} \nabla \theta = \oint \nabla \theta \cdot d\vec{l} = 2\pi \Rightarrow \Delta \theta = 2\pi \quad + \text{Усредним!} \quad (\text{no S u t})$$

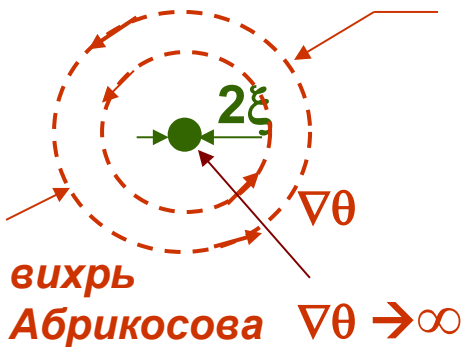
$$N = BS/\Phi_0 = (B/\Phi_0) (L_{ab}w)$$

$$\Delta \theta = 2\pi N$$

$$\Delta t = w / v_v$$

$$U = \frac{\Phi_0}{2\pi} 2\pi \frac{B}{\Phi_0} \frac{L_{ab}w}{w/v_v} = Bv_v L_{ab} \Rightarrow \frac{U}{L_{ab}} = E = +Bv_v$$

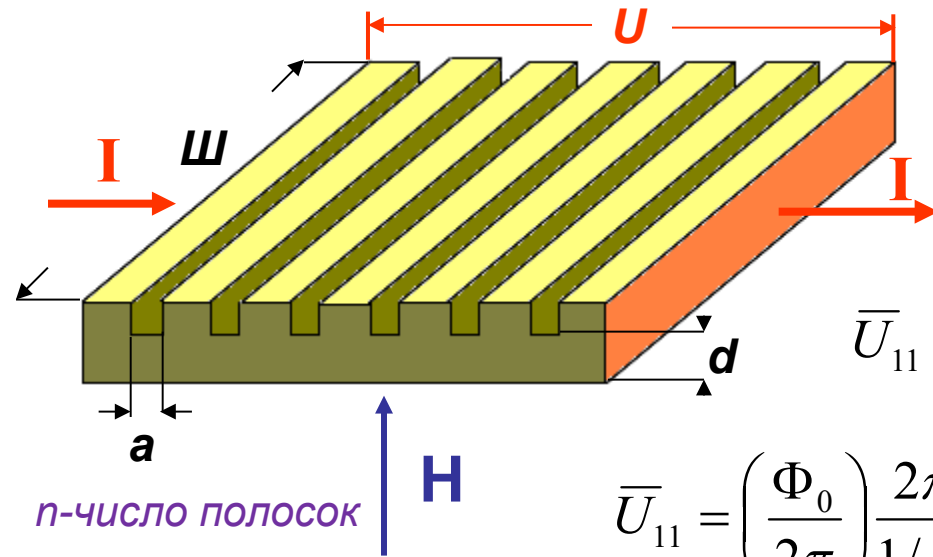
$$E_{KB} = -E_{\Phi}$$



Сверхпроводящий генератор

P. Martinoli, Physical Review B **17**, 1175 (1978)

Наблюдалось электромагнитное излучение из периодически-модулированной по толщине сверхпроводящей пленки. Частота излучения зависела от приложенных магнитного поля и тока.



$$\bar{U}_{11} = \frac{\Phi_0}{2\pi} \frac{\Delta\theta}{\Delta t} = \left(\frac{h}{2\pi 2e} \right) \frac{2\pi}{1/f} \Rightarrow 2e\bar{U}_{11} = hf$$

$$\bar{U}_{11} = \left(\frac{\Phi_0}{2\pi} \right) \frac{2\pi}{1/f} \Rightarrow \bar{U}_{11} = \Phi_0 f$$

$$U(t) = \Phi_0 \frac{d}{dt} \sum \delta(\vec{r}_i)$$

$$\langle U(I) \rangle = (I_b - I_p) R_{fl}$$

$$\langle U_{In} \rangle = nU = an\Delta I R_{fl} = n\Delta I (H/H_{c2}) R_n = n\Phi_0 f$$

$$R_{fl} = \rho_{fl} a / (d\Delta) = (H/H_{c2}) \rho_n a / (d\Delta)$$

$$f = (IR_n / \Phi_0) (H/H_{c2})$$

Генератор на частоте $f(H)$

$$U_0 = IR_n (H/H_{c2}) N = N\Phi_0 f$$

Амплитуда

Проблемы синхронизации.
Эксперимент Мартиноли.

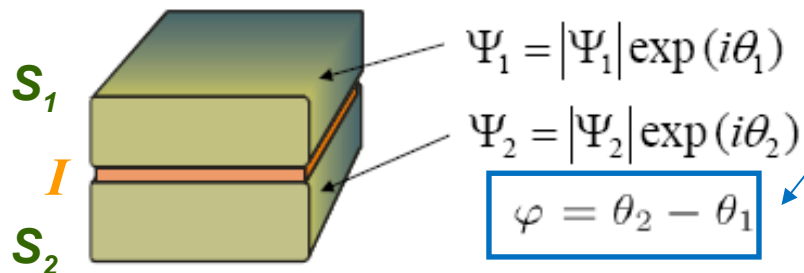
Тема 2

Эффект Джозефсона. Ток-фазовое
соотношение.

Эффекты Джозефсона

B.D. Josephton, 1962 г.

Туннельный переход:

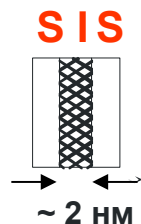


- разность фаз на переходе

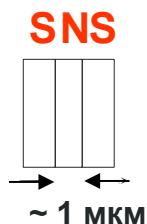
$$I_s(\varphi) = I_c \sin \varphi \quad (I)$$

$$2eU = \hbar d\varphi / dt \quad (II)$$

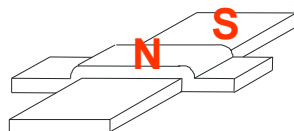
$$U = [\hbar / 2e] d\varphi / dt = (\Phi_0 / 2\pi) d\varphi / dt$$



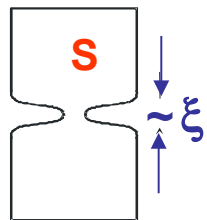
a)



b)



c)



d)



e)

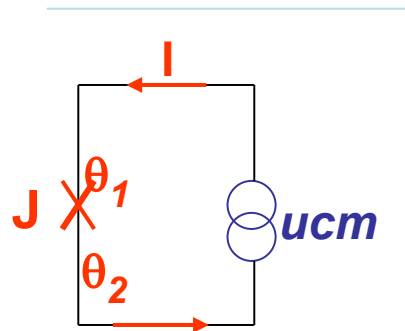
$$I_s(\varphi) = I_c \sin \varphi \quad ???$$

Критический ток

$$\nabla \theta \rightarrow \varphi = \theta_2 - \theta_1$$

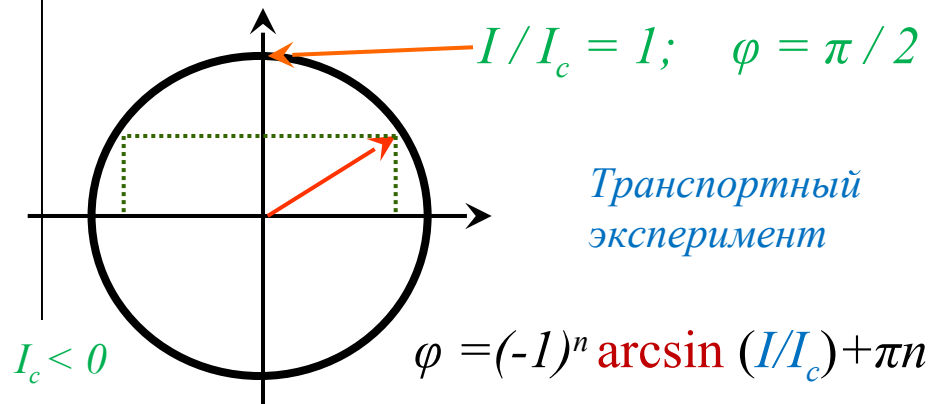
Туннелирование?

$$I_s(\varphi) = F(\varphi)$$

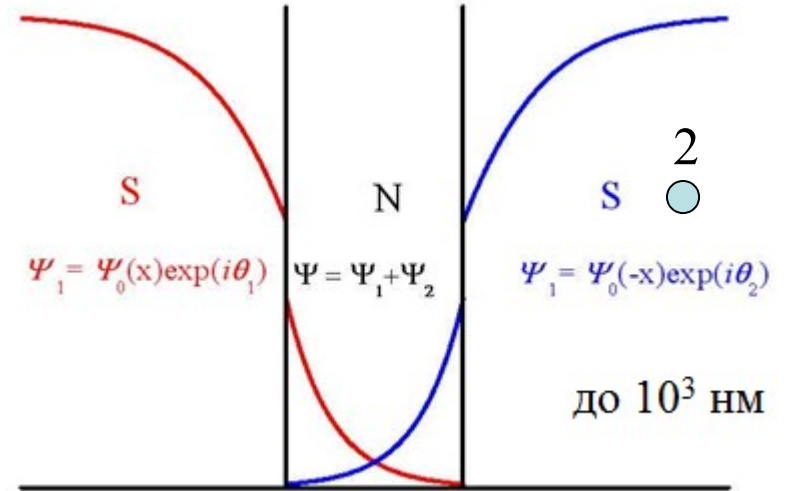
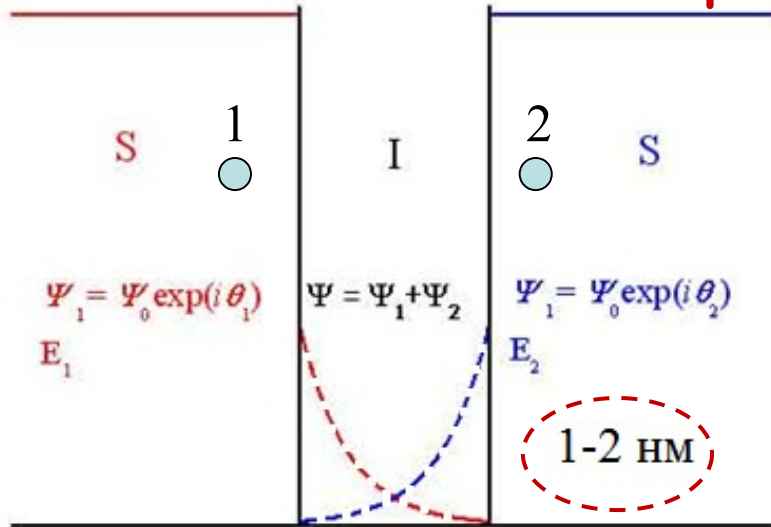


$$I / I_c = 1; \quad \varphi = \pi / 2$$

Транспортный эксперимент



Теория возмущений



$$\mathbf{H}\Psi = E\Psi$$

$$\mathbf{H}_{\text{св}} = -(\hbar^2/2m) \partial^2/\partial \mathbf{r}^2 + U$$

$$\psi = \exp(-ikx) \rightarrow \kappa^2 = (2m/\hbar)(U - E)$$

До взаимодействия (базисные, ортогональные состояния берегов)

$$\int \Psi_1^2 dV = n_{s1}; \quad \int \Psi_2^2 dV = n_{s2} \quad \int \Psi_1^* \Psi_2 dV = 0 \quad \int \Psi_\beta^* \Psi_\alpha dV = n_{s\alpha\beta} \delta_{\alpha\beta} \quad \alpha, \beta = 1, 2$$

Можно записать функции в явном виде:

$$\Psi_\alpha = \psi_\alpha(x) n_{s\alpha}^{1/2}, \text{ где } \psi_\alpha(x) = \theta(\pm x)$$

Включаем слабое взаимодействие:

$$\Psi = C_1 \psi_1(x) + C_2 \psi_2(x)$$

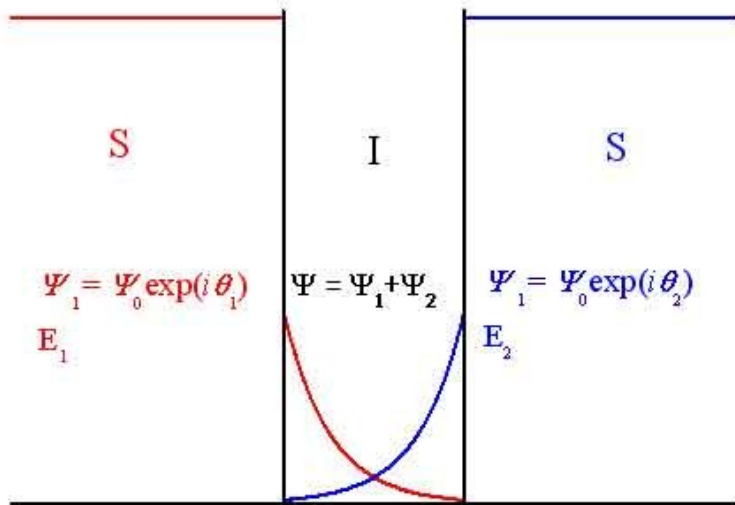
$$\int \psi_\beta^* \psi_\alpha dV = \delta_{\alpha\beta}$$

$$\int |\Psi|^2 dV = |C_1|^2 + |C_2|^2 = n_{s1} + n_{s2} \rightarrow |C_{1,2}|^2 = n_{s1,2} \quad C_{1,2} = n_{s1,2}^{1/2} \exp\{i\theta_{1,2}\}$$

и решаем нестационарное уравнение Шредингера:

$$i\hbar \partial \Psi / \partial t = \mathbf{H}\Psi$$

Уравнение Шредингера



$$\int \psi_{\beta}^* \psi_{\alpha} dV = \delta_{\alpha\beta}$$

$$i \hbar \partial \Psi / \partial t = \mathbf{H} \Psi$$

$$\Psi(t) = \sum C_{\alpha}(t) \psi_{\alpha}$$

$$\int \psi_{1,2}^* dV \quad | \quad * \quad i \hbar \partial / \partial t \{ \sum C_{\alpha}(t) \psi_{\alpha} \} = \sum \mathbf{H} C_{\alpha}(t) \psi_{\alpha}$$

$$i \hbar \partial / \partial t \{ C_1(t) \int \psi_1^* \psi_1 dV + C_2(t) \int \psi_1^* \psi_2 dV \} = C_1(t) \int \psi_1^* \mathbf{H} \psi_1 dV + C_2(t) \int \psi_1^* \mathbf{H} \psi_2 dV$$

$$i \hbar \partial / \partial t \{ C_1(t) \int \psi_2^* \psi_1 dV + C_2(t) \int \psi_2^* \psi_2 dV \} = C_1(t) \int \psi_2^* \mathbf{H} \psi_1 dV + C_2(t) \int \psi_2^* \mathbf{H} \psi_2 dV$$

Домножив и проинтегрировав, получим, учитывая, что $\int \psi_{\beta}^* \psi_{\alpha} dV = \delta_{\alpha\beta}$:

$$E_2 - E_1 = 2eU$$

$$H_{1,2} = \int \Psi_{1,2}^* \mathbf{H} \Psi_{1,2} dV = E_{1,2}$$

$$H_{12} = \int \Psi_1^* \mathbf{H} \Psi_2 dV = H_{\beta=1}$$

$$i \hbar \partial C_{\alpha}(t) / \partial t = H_{\alpha\alpha} C_{\alpha}(t) + H_{\alpha\beta} C_{\beta}(t)$$

$$i \hbar \partial C_1(t) / \partial t = (E_0 - eU) C_1(t) + H_{12} C_2(t)$$

$\beta=2$

$$i \hbar \partial C_2(t) / \partial t = H_{12} C_1(t) + (E_0 + eU) C_2(t),$$

Алгебраические преобразования

$$\begin{cases} i \hbar \partial C_1(t) / \partial t = (E_0 - eV) C_1(t) + H_{12} C_2(t) \\ i \hbar \partial C_2(t) / \partial t = H_{12} C_1(t) + (E_0 - eV) C_2(t), \end{cases}$$

Подставим выражения для C_1 и C_2 : $C_1 = \sqrt{n_{s1}} \exp \{i\theta_1(t)\}$, $C_2 = \sqrt{n_{s2}} \exp \{i\theta_2(t)\}$

$$i \hbar \exp \{i\theta_1(t)\} (1/2 \sqrt{n_{s1}}) \partial n_{s1}(t) / \partial t + i \hbar \sqrt{n_{s1}} i \exp \{i\theta_1(t)\} \partial \theta_1(t) / \partial t =$$

$$= (E - eV) \sqrt{n_{s1}} \exp \{i\theta_1(t)\} + H_{12} \sqrt{n_{s2}} \exp \{i\theta_2(t)\}$$

$$\frac{1}{\sqrt{n_s}} \frac{\partial}{\partial t} \exp \{i\theta_1(t)\} \begin{cases} [i \hbar / (2n_{s1})] \frac{dn_{s1}(t)}{\partial t} - \hbar \frac{d\theta_1(t)}{\partial t} = E_0 - eV + K_{21} \exp(i\varphi(t)) \end{cases}$$

$$[i \hbar / (2n_{s2})] \frac{dn_{s2}(t)}{\partial t} - \hbar \frac{d\theta_2(t)}{\partial t} = K_{12} \exp(-i\varphi(t)) + E_0 + eV$$

$$K_{21} = H_{12} \sqrt{n_{s2}} / \sqrt{n_{s1}}$$

$$K_{12} = H_{12} \sqrt{n_{s1}} / \sqrt{n_{s2}}$$

$$K_{21} \neq K_{12}$$

Уравнения Джозефсона

Выделим и приравняем действительные и мнимые слагаемые, представив

$\exp(i\varphi(t)) = \cos \varphi + i \sin \varphi$ и $\exp(\pm i\varphi(t)) = \cos \varphi \pm i \sin \varphi$, где $\varphi(t) = \theta_2(t) - \theta_1(t)$:

$$\left\{ \begin{array}{l} [i \hbar / (2n_{s1})] \frac{dn_{s1}(t)}{dt} - \hbar \frac{d\theta_1(t)}{dt} = E_0 - eU + K \cos \varphi(t) + iK_{21} \sin \varphi(t) \\ [i \hbar / (2n_{s2})] \frac{dn_{s2}(t)}{dt} - \hbar \frac{d\theta_2(t)}{dt} = K \cos \varphi(t) - iK_{12} \sin \varphi(t) + E_0 + eU \end{array} \right.$$

Мнимые слагаемые

$$[\hbar / (2n_{s1})] \frac{dn_{s1}(t)}{dt} = K_{21} \sin \varphi$$

$$d\{2en_{s1}(t)\} / dt = - d\{2en_{s2}(t)\} / dt = I_s(\varphi)$$

$$[\hbar / (2n_{s2})] \frac{dn_{s2}(t)}{dt} = -K_{12} \sin \varphi$$

$$I_s(\varphi) \sim K \sin \varphi \sim I_c \sin \varphi$$

$$K_{21} = H_{12} \sqrt{n_{s2}} / \sqrt{n_{s1}}$$

$I_s(\varphi) = I_c \sin \varphi$ - стационарное (первое) уравнение Джозефсона.

$$d[2en_{s1}(t)] / dt = (2e/\hbar)n_{s1}K_{21} \sin \varphi$$

$$I_c = (2\pi/\Phi_0)n_{s1}K_{21} = (2\pi/\Phi_0)\sqrt{n_{s1}n_{s2}}H_{12}$$

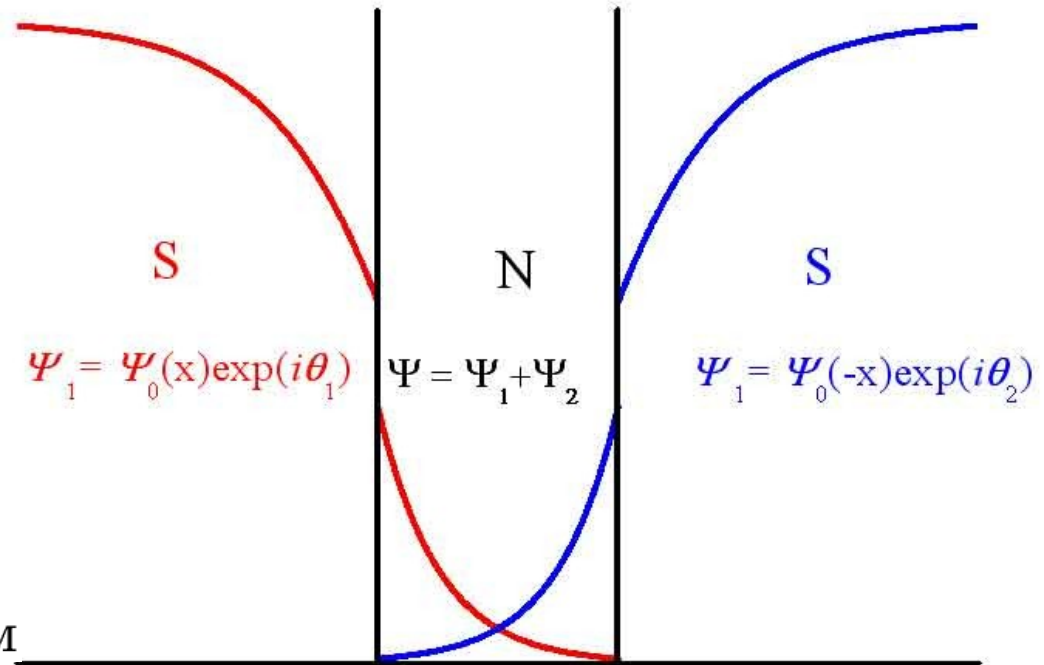
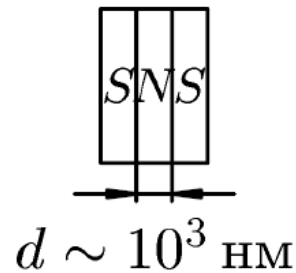
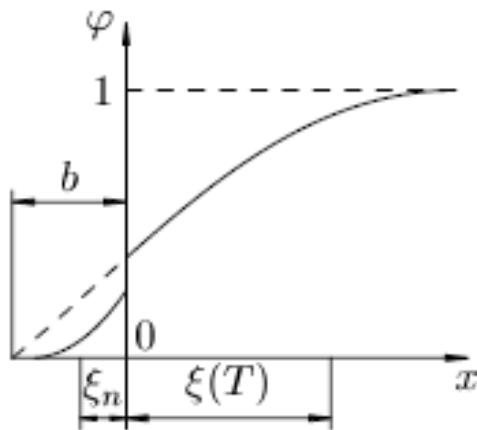
$I_c \sim n_s$ в берегах перехода и матричному элементу $H_{1,2}$, т.е. “силе” слабой связи.

Действительные слагаемые

$$\hbar \frac{d\theta_1(t)}{dt} = -K \cos \varphi + E_0 - eU$$

$$\hbar \frac{d\theta_2(t)}{dt} = -K \cos \varphi + E_0 + eU$$

SNS-контакт.



$$|\psi|^2 \rightarrow 0$$

$$\nabla\theta = (\Phi_0/2\pi) \mu_0 \lambda^2 j_s / |\psi|^2$$

Сверхпроводник

$$\psi = \text{th} [(x - x_0)/\sqrt{2}\xi].$$

Прослойка

$$\psi = \psi_0 e^{-|x|/\xi_n}$$

~~$$j_s = -i[\Phi_0/(4\pi\lambda^2)](\psi^* \nabla \psi - \psi \nabla \psi^*) - |\psi|^2 A/\lambda^2$$~~

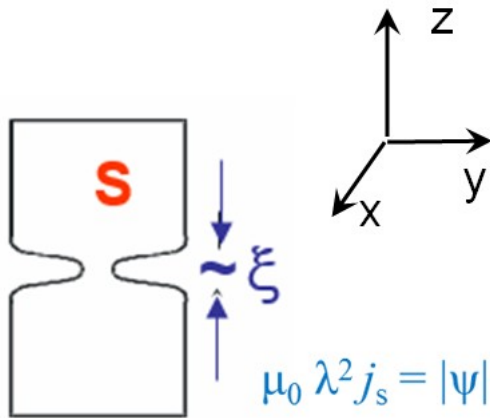
$$\psi(r) = \psi_1(x) \exp[+i\theta_1] + \psi_2(x) \exp[+i\theta_2]$$

$$\psi^*(r) = \psi_1(x) \exp[-i\theta_1] + \psi_2(x) \exp[-i\theta_2]$$

$$j_s \sim \psi_0^2 \exp(-d/\xi_N) \sin \varphi$$

Синусоидальное ток-фазовое соотношение.

Примеры ток-фазового соотношения (ТФС)



$$\psi(r) = |\psi(r)| \exp(i\theta(r))$$

$$\mathbf{A} = \mathbf{A}_0 + \mathbf{A}_I$$

$$\mathbf{A}_0 = 0$$

$$\mu_0 j_s = (|\psi|^2 / \lambda^2) [(\Phi_0 / 2\pi) \nabla \theta - \mathbf{A}]$$

$$\hbar \nabla \theta = 2m\mathbf{v}_s + 2e\mathbf{A}, \text{ в сосредоточенных контактах } \mathbf{A}_I \approx 0$$

$$\mu_0 \lambda^2 j_s = |\psi|^2 (\Phi_0 / 2\pi) \nabla \theta \quad \rightarrow \quad \nabla \theta = (\Phi_0 / 2\pi) \mu_0 \lambda^2 j_s / |\psi|^2 = \nabla \theta(z)$$

$$j_s / |\psi|^2 \rightarrow \infty \Rightarrow \text{в области слабой связи будет большой } \nabla \theta$$

$$\nabla \theta = \text{const}(x, y)$$

Мостик (сужение)

$$j_z(z) = I / S(\mathbf{z}) = \text{const}(x, y) \rightarrow \infty \text{ при } S \rightarrow 0$$

$$\nabla \theta = (2\pi\lambda^2 / \Phi_0) (I / S(\mathbf{z})) \quad \rightarrow \quad \int_{-z_0}^{z_0} \nabla \theta dz = I (2\pi\lambda^2 / \Phi_0) \int_{-z_0}^{z_0} (1 / S(\mathbf{z})) dz$$

$$\Rightarrow \varphi = \theta_2 - \theta_1 = (2\pi\lambda^2 / \Phi_0) I \text{ const}(I, \theta) \quad \rightarrow \quad I = \text{const} * (\Phi_0 / 2\pi\lambda^2) \varphi$$

Линейное ток-фазовое соотношение.

Ток-фазовое соотношение

Джозефсоновский переход – это область проскальзывания фазы

$I_s(\varphi)$ всегда/обычно нечетная 2π -периодическая функция.

Часто, но не всегда: $I_s(\varphi) = I_c \sin \varphi$

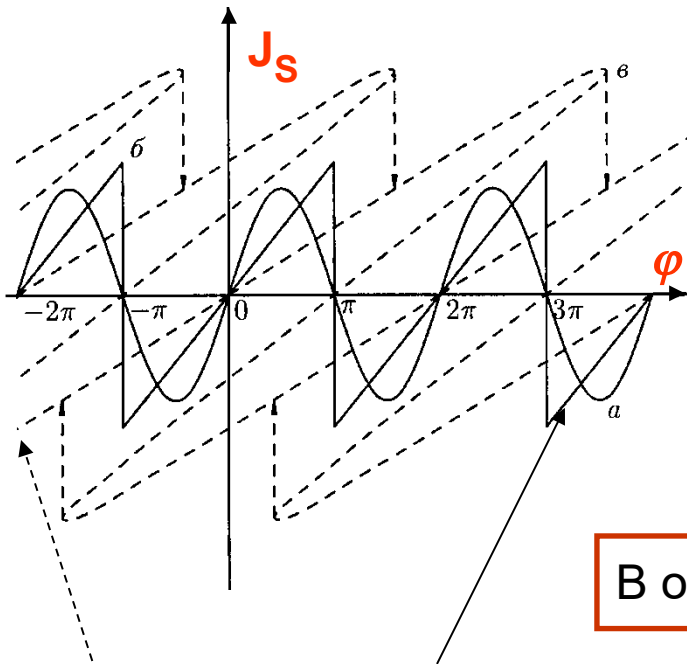
В общем случае: $I_s(\varphi) = I_{c1} \sin \varphi + I_{c2} \sin 2\varphi + I_{c3} \sin 3\varphi \dots$

В баллистическом SNS контакте (из ГЛ II):

$J_s \sim [\hbar e / (2m)] \nabla \theta = [\hbar n_{sN} e / (2m)] (\varphi / d_N)$, где $\varphi = \theta_2 - \theta_1$ - разность фаз на “берегах” слабой связи.

В длинных “точечных” контактах (нитях) с $d > \xi$ - неоднозначная ток-фазовая зависимость.

Экзотика: $I_s(\varphi) \neq I_{c1} \sin \varphi + I_{c2} \sin 2\varphi + I_{c3} \sin 3\varphi \dots$



Тема 3

Нестационарный эффект Джозефсона.
RSJ-модель.

Резистивно-шунтированная (RSJ) модель джозефсоновского SNS-перехода

Эквивалентная
схема SNS
перехода

нет емкости!

$$d\varphi/dt = \varphi_t = \dot{\varphi}$$

$$I_b = I_J + I_n = I_c \sin \varphi + \frac{U}{R_n} = I_c \sin \varphi + \frac{\Phi_0}{2\pi R_n} \varphi_t$$

$$2eU = \hbar d\varphi/dt, \quad \Phi_0 = h/2e$$

$$U = [\hbar/(2e)] d\varphi/dt = [\Phi_0/(2\pi)] \varphi_t$$

$$\gamma = \sin \varphi + [\Phi_0/2\pi I_c R_n] d\varphi/dt = \sin \varphi + [1/\omega_c] d\varphi/dt$$

$$U_c = I_c R_n,$$

$$\omega_c = 2\pi U_c / \Phi_0$$

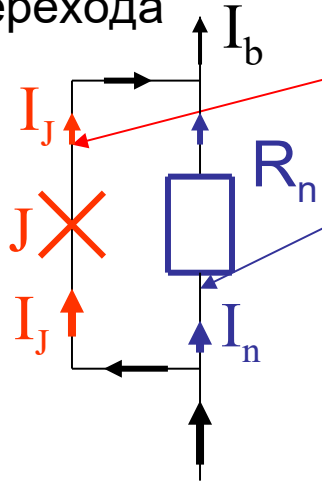
$$\text{т.к. } \hbar \omega_c = 2eU_c$$

$$\gamma = \frac{d\varphi}{d\tau} + \sin \varphi,$$

(7.4a)

$$\tau = t / \{1/\omega_c\}$$

где $\gamma = \frac{I_b}{I_c}$, $\tau = \omega_c t = \frac{2\pi}{\Phi_0} U_c t$ - приведенные ток и время



Мгновенное напряжение $V(t)$ на SNS переходе

$$\gamma = \frac{d\varphi}{d\tau} + \sin \varphi \Rightarrow d\tau = \frac{d\varphi}{\gamma - \sin \varphi}$$

$$\int \frac{dx}{\sin x} = \ln \left| \operatorname{tg} \frac{x}{2} \right| + c$$

Используя подстановку: $z = \operatorname{tg} \frac{\varphi}{2}$, можно получить решение уравнения:

$$V_c = I_c R_n$$

$$z = \operatorname{tg} \frac{\varphi}{2} = \frac{1}{\gamma} + \left(\frac{\gamma^2 - 1}{\gamma^2} \right)^{1/2} \operatorname{tg} \left(\frac{\pi \tau}{T} \right), \text{ где } T = \frac{2\pi}{(\gamma^2 - 1)^{1/2}} \text{ в ед. } \tau \text{ и } T = \frac{\Phi_0}{V_c (\gamma^2 - 1)^{1/2}} \text{ в ед. } t$$

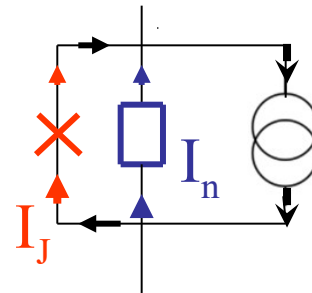
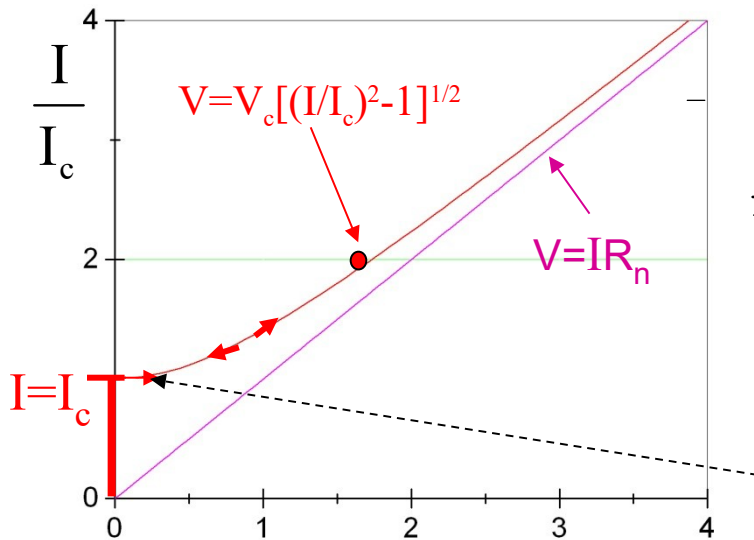
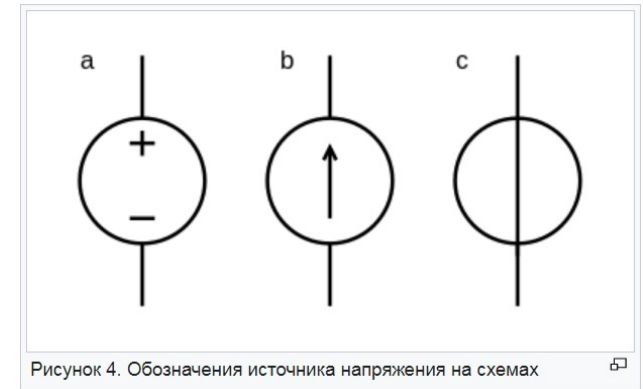
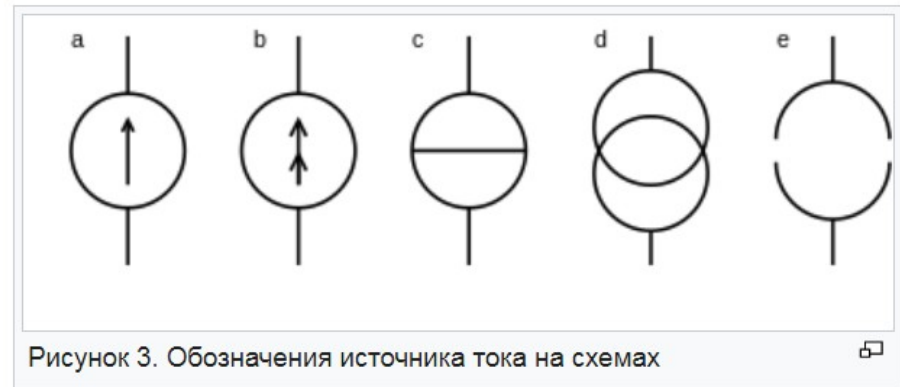
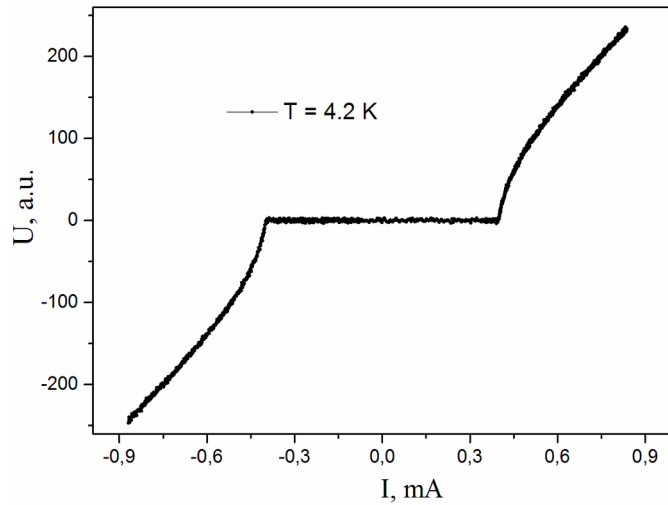
Мгновенное напряжение:
$$U(t) = \frac{\Phi_0}{2\pi} \frac{d\varphi}{dt} = R_n \frac{I^2 - I_c^2}{I + I_c \cos(\omega t + \varphi_0)}$$

$$\omega = \frac{2\pi}{T} = \frac{2\pi R_n}{\Phi_0} \sqrt{I^2 - I_c^2}, \quad \varphi_0 - \text{начальная фаза} \quad (\text{постоянная интегрирования})$$

$$V_c = I_c R_n$$

$$\overline{U} = \frac{\Phi_0}{2\pi} \overline{\frac{d\varphi}{dt}} = \frac{\Phi_0}{2\pi} \frac{1}{T} \int_0^T \frac{d\varphi}{dt} dt = \frac{\Phi_0}{2\pi} \frac{2\pi}{T(\gamma)} = R_n \sqrt{I^2 - I_c^2}$$

Вольт-амперная характеристика RSJ



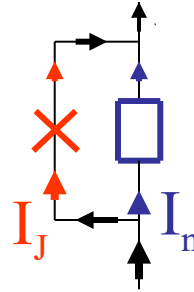
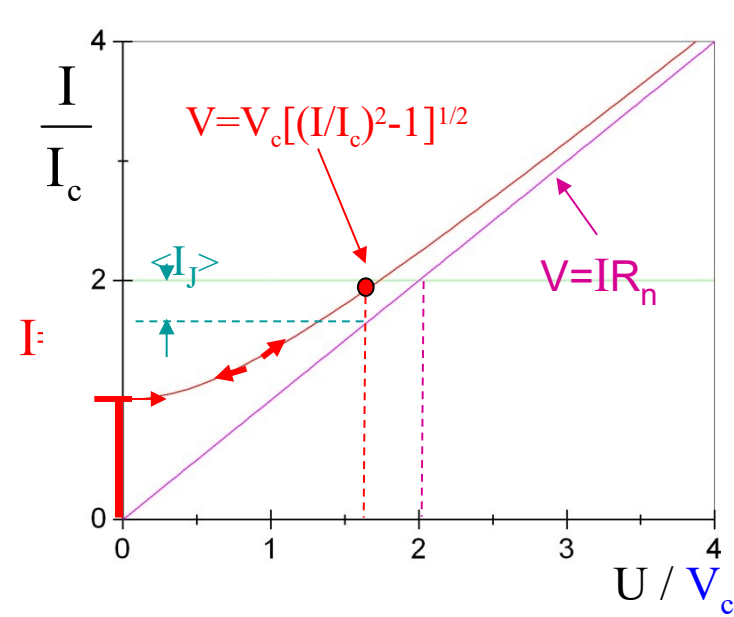
$$\bar{U} = R_n \sqrt{I^2 - I_c^2}$$

$$\frac{d\bar{U}}{dI} = \frac{I R_n}{\sqrt{I^2 - I_c^2}}$$

$$V_c = I_c R_n$$

$$\langle V \rangle = V_c \sqrt{\frac{I^2}{I_c^2} - 1}$$

Джозефсоновская генерация и ступени Шапиро



$$\omega = \frac{2\pi V_c}{\Phi_0} \sqrt{\frac{I^2}{I_c^2} - 1}$$

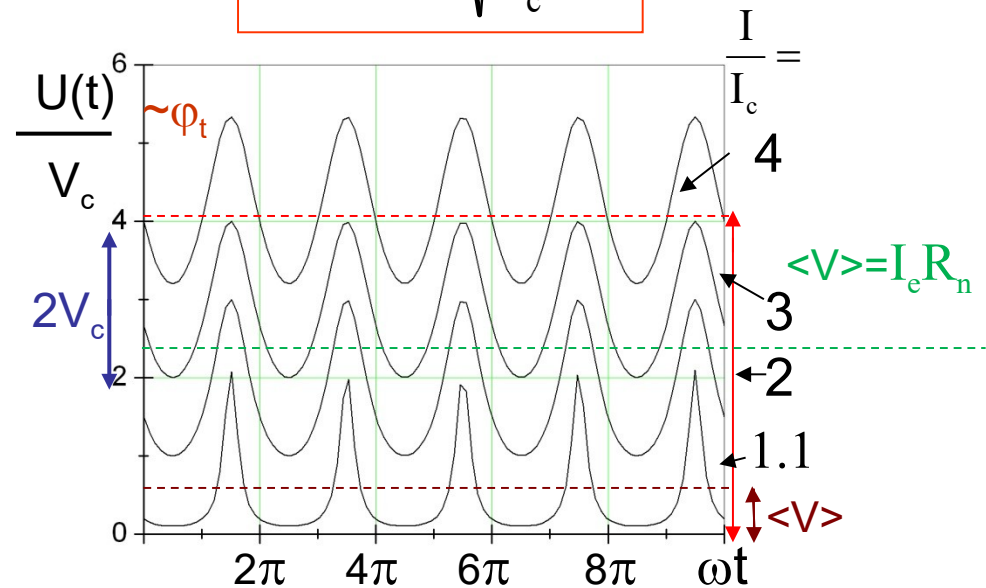
$$\langle U \rangle = V_c \sqrt{\frac{I^2}{I_c^2} - 1}$$

$$I_b = I_J + I_n$$

$$I_J = I_b - I_n$$

$$I_n = I_b - I_c \sin \varphi$$

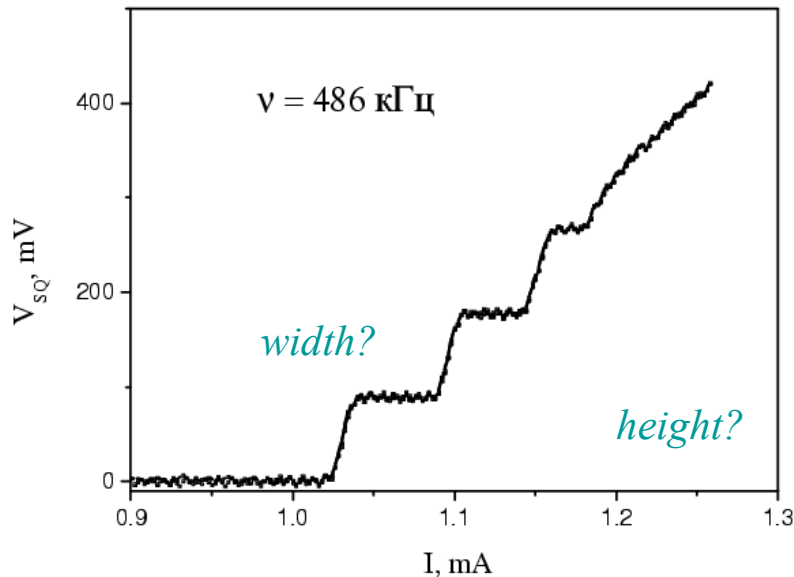
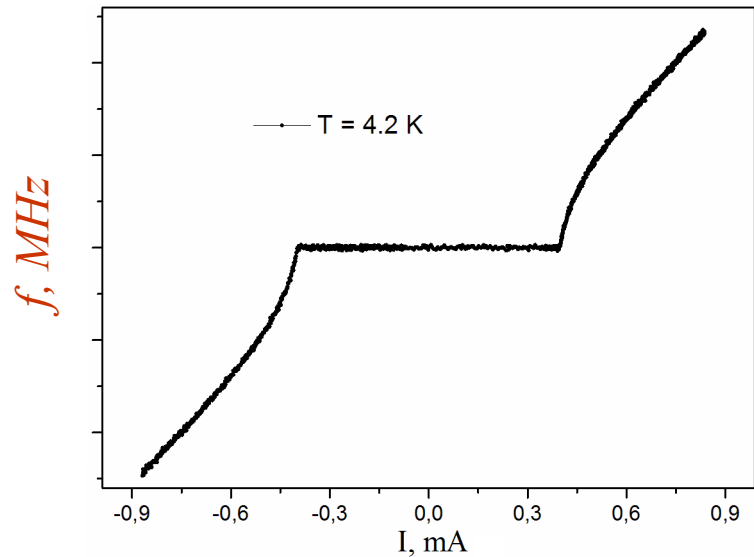
$$U(t) = I_b R_n - V_c \sin \varphi(t)$$



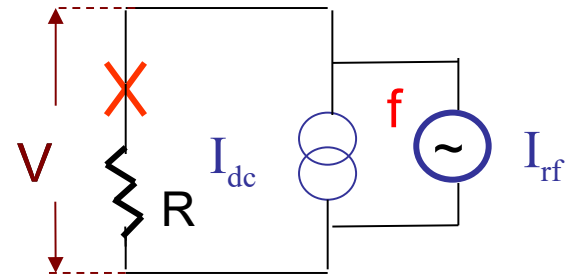
$$\langle U(t) \rangle = I_b R_n - V_c \langle \sin \varphi(t) \rangle$$

$$\hbar \omega = 2e \langle U \rangle$$

Джозефсоновская генерация и ступени Шапиро



Калибровка СКВИД-усилителей



$$\bar{U} = \frac{\Phi_0}{2\pi} \frac{2\pi}{T(\gamma)} = \Phi_0 f_J(\gamma)$$

$$f_J(\gamma) = f_{ext}(\gamma)$$

$$U_n = n \Phi_0 f_{rf}$$

$$n f_{rf} = K_J U_n$$

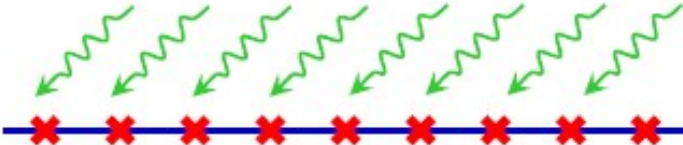
$$\Delta f_{rf} = K_J U_n$$

$$K_J = 1/\Phi_0 = 483 \text{ ГГц/мВ}$$

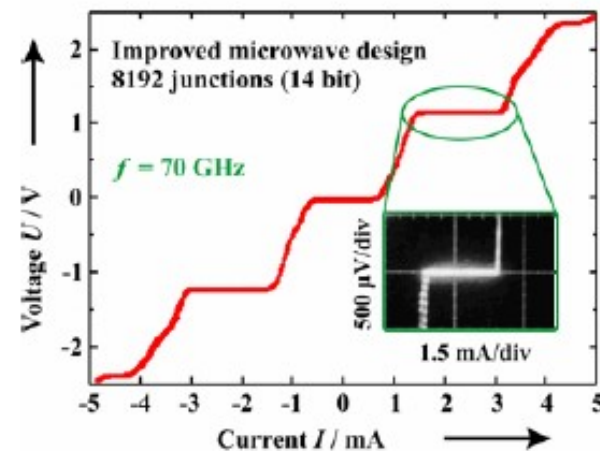
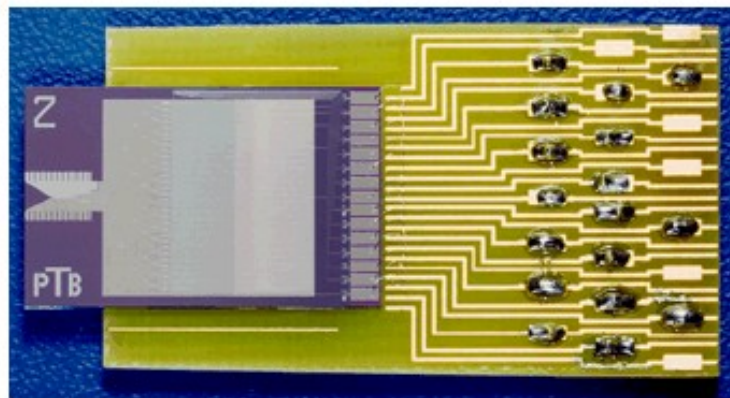
$$K_J = 1/\Phi_0 = 483 \text{ МГц/нВ}$$

$$K_J = 1/\Phi_0 = 483 \text{ кГц/пВ}$$

Синхронизированные цепочки. «Гигантские» ступени Шапиро Стандарт Вольты


$$V_n = N(\hbar/2e)\omega_J = Nn\Phi_0 f_{rf}$$

N -число переходов

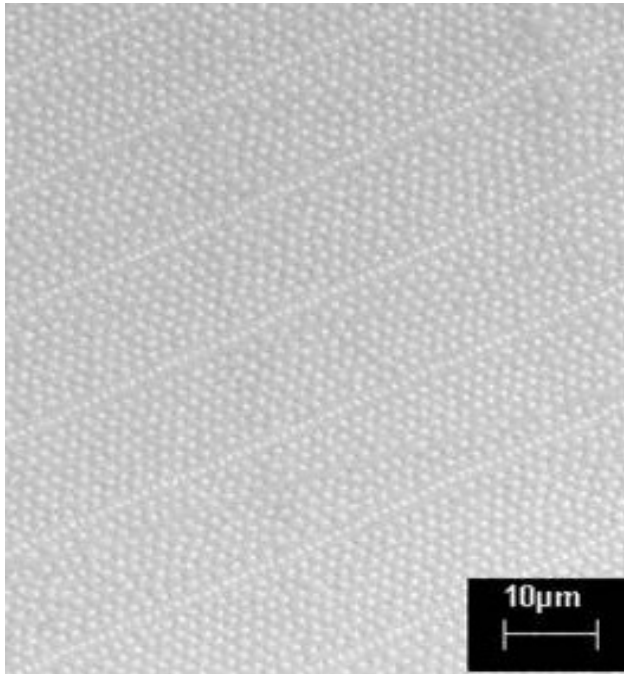


Picture of a 1-V series array consisting of 8192 SINIS junctions
divided into a binary sequence

© PTB Braunschweig (group of Dr. A.B.Zorin)

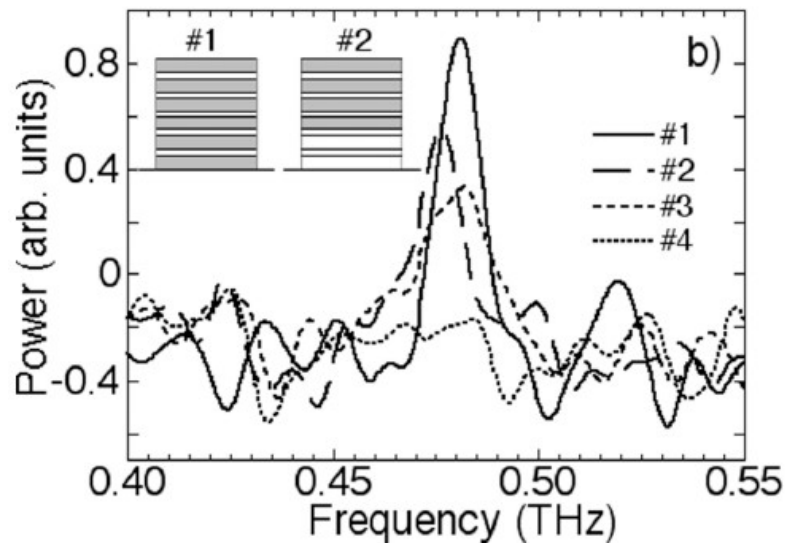
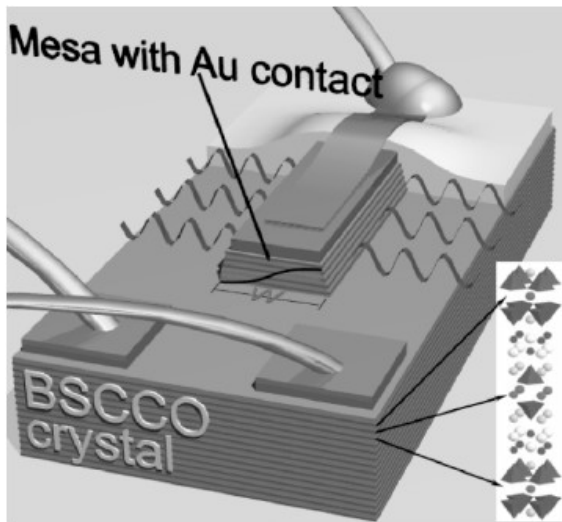
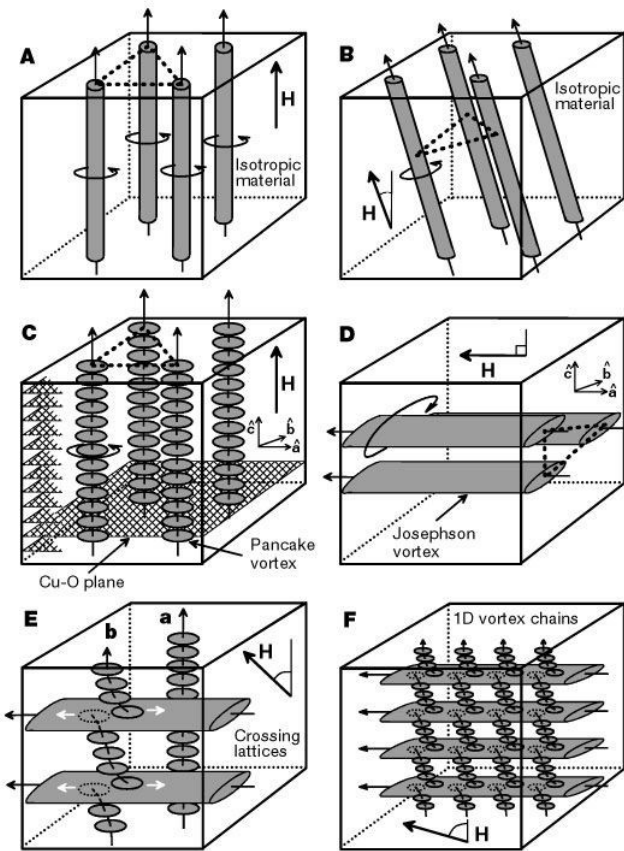
J. Niemeyer et al (1999). Цепочка встроена в полосковую линию

Джозефсоновская генерация в BSCCO



BSCCO:
 $\lambda_c / \lambda_{ab} \sim 100$

Вихревая решетка в BSCCO, наклонное магнитное поле (pancakes).

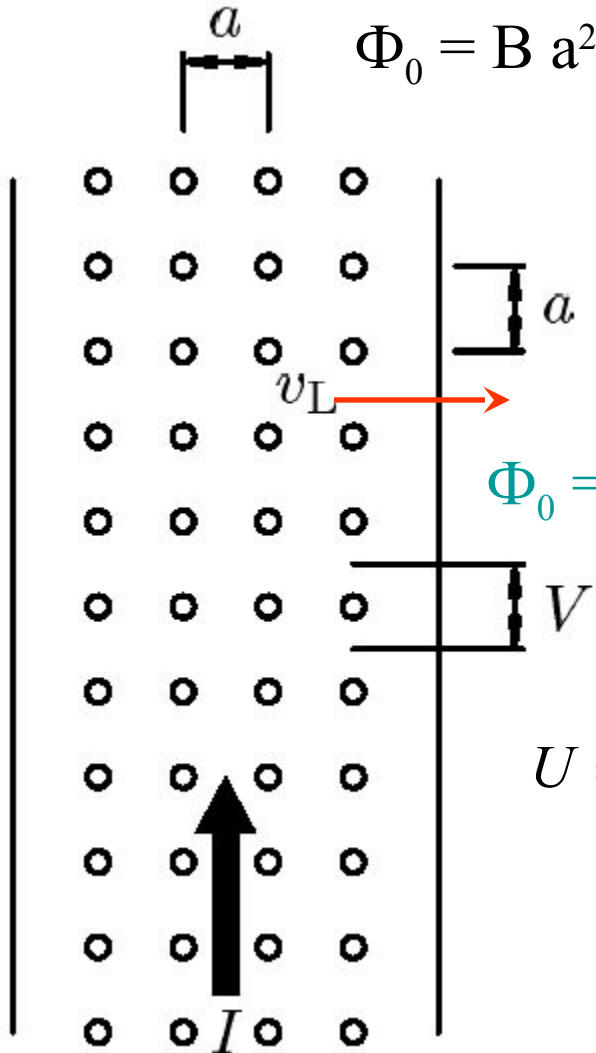


В. Краснов и соавторы (2016)

К.Е. Gray,
 Л. Ozyuzer,
 А.Е. Koshelev
 et al. Science 2008

Ступени Шапиро в эксперименте Мартиноли

Пусть в сверхпроводнике сформировалась вихревая решетка с периодом $a \sim \lambda$.



Ток питания превышает ток пиннинга (flux-flow).

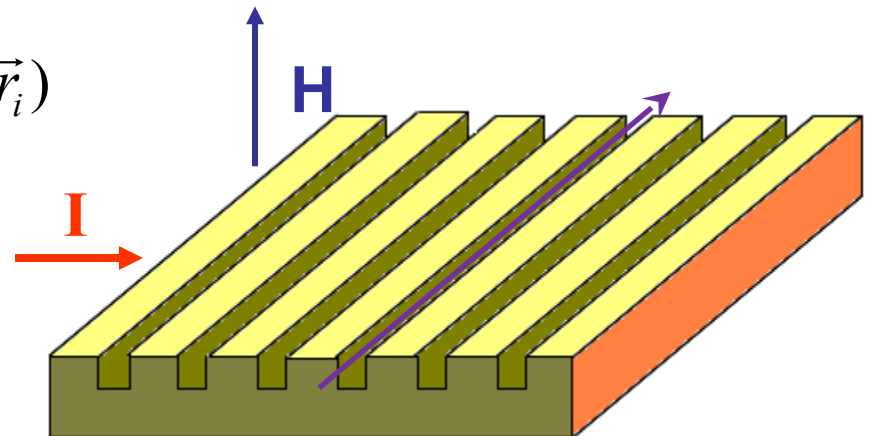
Частота прохождения вихрей: $\nu = a/v_v$, период $T = v_v/a$

Мгновенное напряжение содержит переменную составляющую с частотой ν .

$$U = \Delta\Phi / \Delta t \sim \Phi_0 / T = \Phi_0 \nu$$

Возможно наблюдение резонансных ступеней напряжения.

$$U = \Phi_0 \frac{d}{dt} \sum \delta(\vec{r}_i)$$



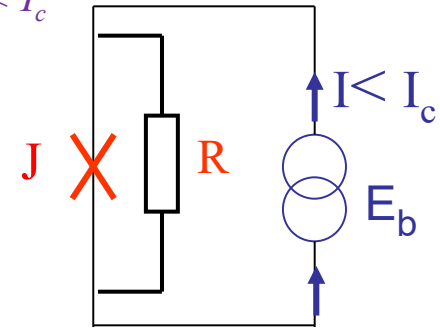
Первое критическое поле. Джозефсоновская энергия

Сосредоточенный переход с разностью фаз φ при $H = 0$ и токе питания $I < I_c$

$$I_s(\varphi) = I_c \sin \varphi \quad \text{Уравнение Джозефсона I (J1)}$$

$$2eU = \hbar\omega = \hbar d\varphi / dt \quad \text{Уравнение Джозефсона II (J2)}$$

$$\varphi = \theta_2 - \theta_1; \quad U = [\hbar / (2e)] d\varphi / dt = (\Phi_0 / 2\pi) d\varphi / dt$$



$$\varphi = 0, E_{\text{coup}} = \min$$

Свободная энергия (Гельмгольца)

$$E_{\text{coup}} = \int I_s U dt = \int_0^t I_c \sin \varphi (\Phi_0 / 2\pi) (d\varphi / dt) dt = (\Phi_0 / 2\pi) \int_0^\varphi I_c \sin \varphi d\varphi = E_J \cos \varphi \Big|_0^\varphi$$

$$E_{\text{coup}} = E_J (1 - \cos \varphi)$$

где E_J - "джоз. энергия связи"

$$E_J = \Phi_0 I_c / 2\pi$$

Работа источника

$$A_b = \int I_b U dt = I_b \int_0^\varphi (\Phi_0 / 2\pi) (d\varphi / dt) dt = (\Phi_0 I / 2\pi) \varphi = E_J (I / I_c) \varphi$$

транспортный эксперимент

Распределенный JJ в магнитном поле

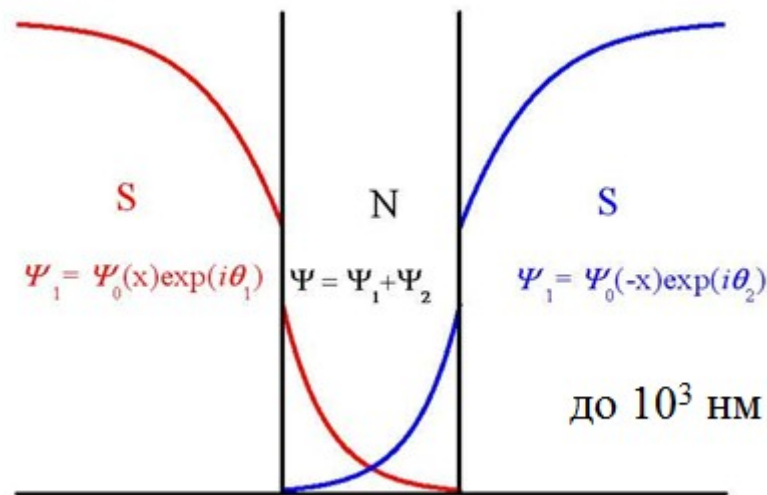
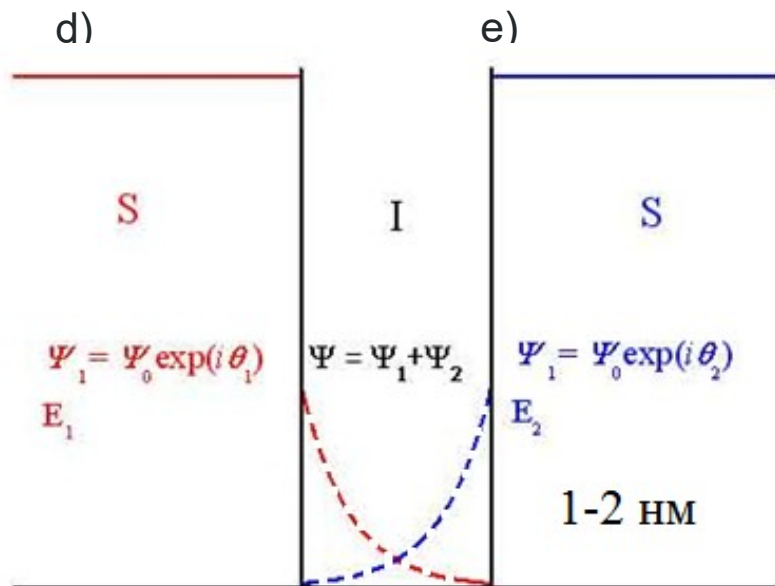
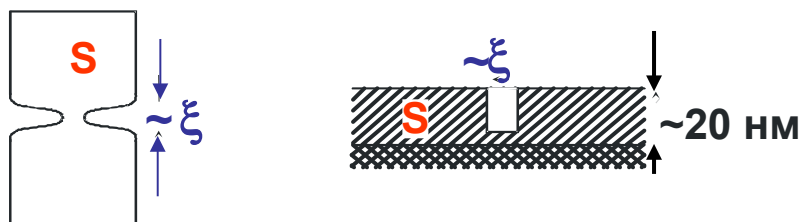
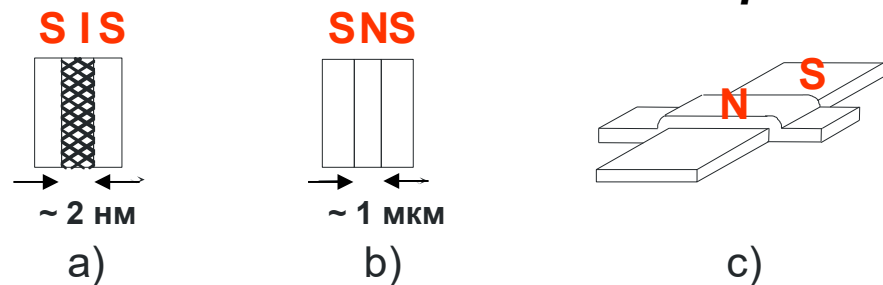
$$G = E - \int B H_0 d_m dx = E - H_0 \int B d_m dx = W - H_0 \Phi$$

Тема 4

Нестационарный эффект Джозефсона.
RSCJ-модель.

Эффекты Джозефсона

B.D. Josephson, 1962 г.

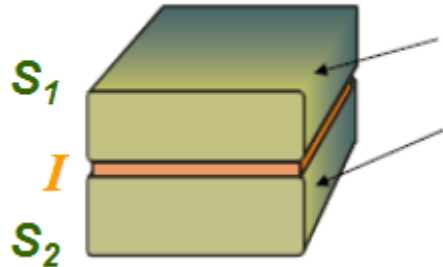


$$K_J = 1/\Phi_0 = 483 \text{ кГц/пВ}$$

$$K_J = 1/\Phi_0 = 483 \text{ МГц/нВ}$$

$$K_J = 1/\Phi_0 = 483 \text{ ГГц/мВ}$$

Туннельный переход



RCSJ-модель

Модель резистивно-шунтированного JJ с емкостью.

$$I_J = I_c \sin \varphi - \text{джозефсоновский канал}$$

$$I_n = U / R_n = [\Phi_0 / 2\pi R] \varphi_t - \text{резистивный канал};$$

$$U = [\Phi_0 / 2\pi] \dot{\varphi}_t$$

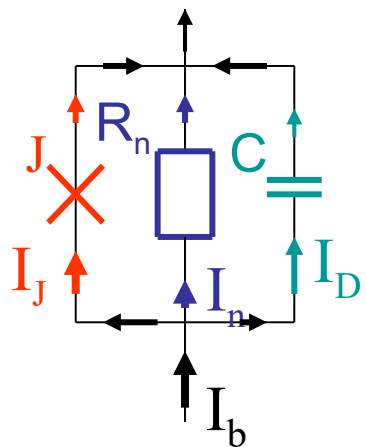
$$I_D = dq/dt = C dU/dt = [\Phi_0 C / 2\pi] \ddot{\varphi}_t$$

$$I_c \sin \varphi + [\Phi_0 / 2\pi R] \varphi_t + [\Phi_0 C / 2\pi] \ddot{\varphi}_t = I_b$$

$$/ I_c$$

$$*E_J = \Phi_0 I_c / 2\pi$$

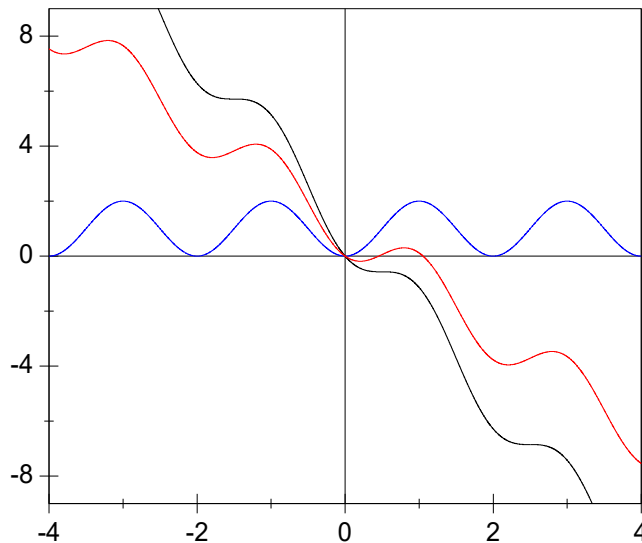
$$\sin \varphi + [\Phi_0 / 2\pi I_c R] \varphi_t + [\Phi_0 C / 2\pi I_c] \ddot{\varphi}_t = \gamma$$



Потенциал стиральной доски

$$[\Phi_0 / 2\pi]^2 C \varphi_{tt} + [\Phi_0 / 2\pi]^2 R^{-1} \varphi_t = E_J (\gamma - \sin \varphi) \quad = f = -dG / d\varphi$$

$$G = -E_J(I_b/I_c) \varphi + E_J(1 - \cos \varphi) \quad \rightarrow \quad f = -dG / d\varphi = E_J(1 - \cos \varphi) - E_J(I/I_c) \varphi$$



$$E_J = \frac{\hbar I_c}{2e} = \frac{\Phi_0 I_c}{2\pi}$$

Фактически, это уравнение движения массивной частицы
в поле силы тяжести.

$$M\varphi_{tt} + \eta \varphi_t = Mg(1 - \sin \varphi)$$

Частица

JJ

Координата

x

Разность фаз φ

Масса

M

$[\hbar / (2e)]^2 C$

Трение

η

$[\hbar / (2e)]^2 R^{-1}$

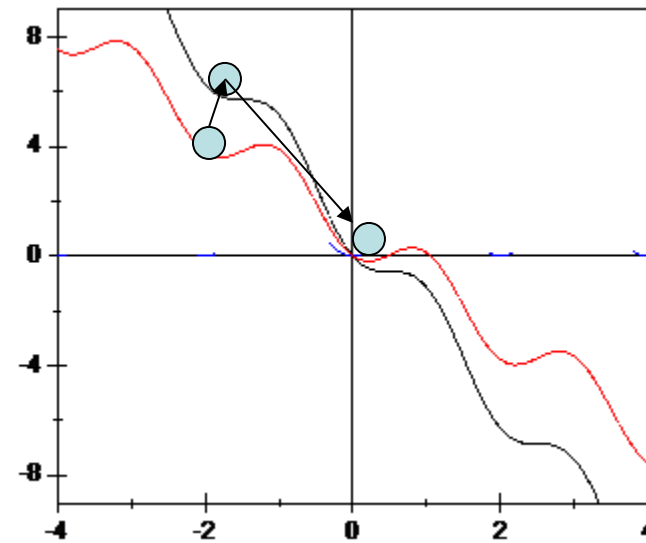
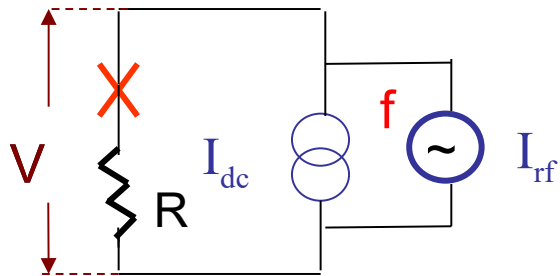
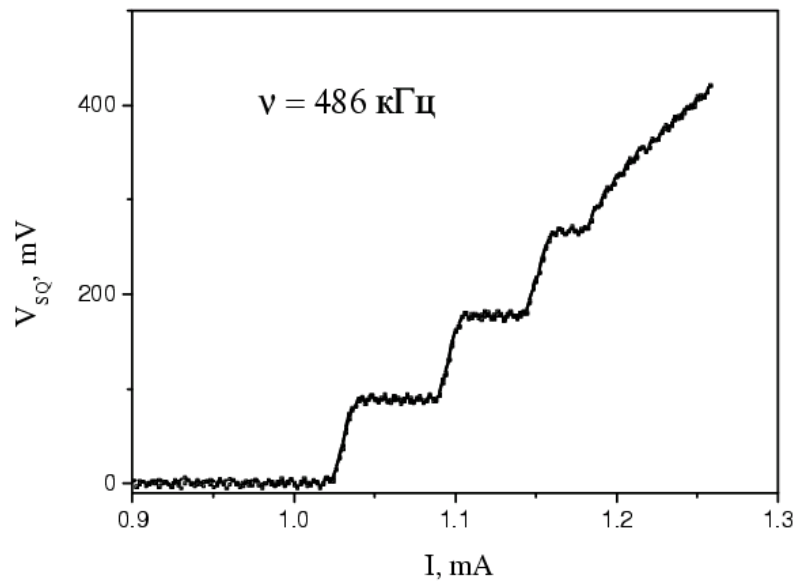
Проекция силы тяжести

$Mg(1 - \sin \varphi)$

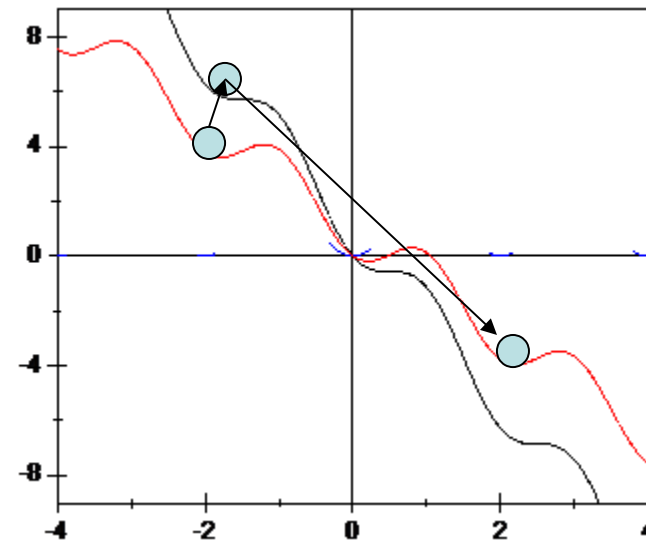
$E_J(1 - \sin \varphi)$

$m \sim C$, $\eta \sim 1/R_n$; $E_J(I_c/I_c)$ - ускоряющая сила.

Джозефсоновская синхронизация

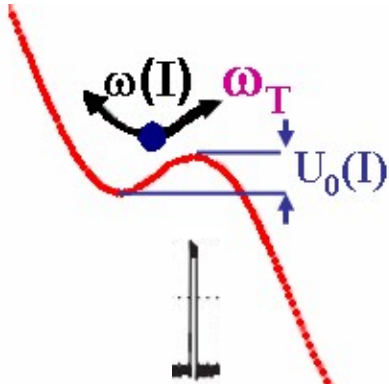


$n = 1$



$n = 2$

Тепловые флуктуации джозефсоновского тока



Резистивный режим начинается при $I_c^* < I_c = (2\pi/\Phi_0)E_J$ за счет теплового преодоления барьера $U_0(I)$

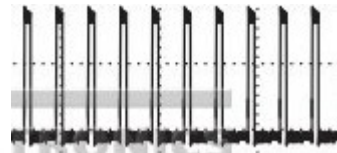
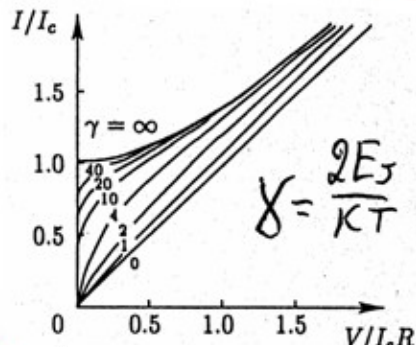
Частота преодоления

где $\omega(I) = \omega_p [1 - (I/I_c)^2]^{1/4}$;

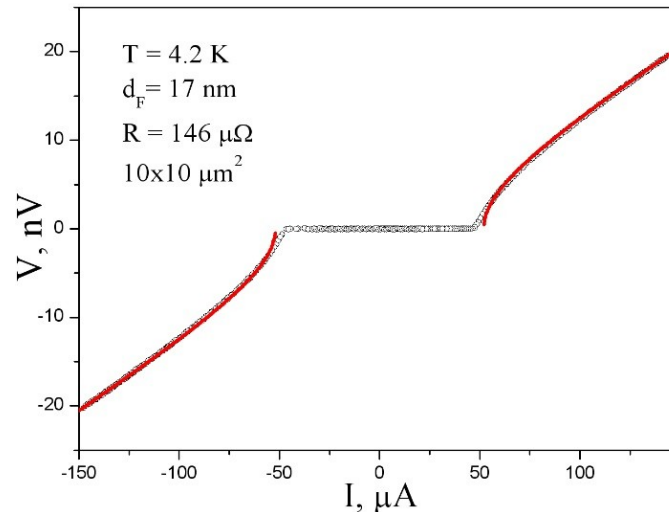
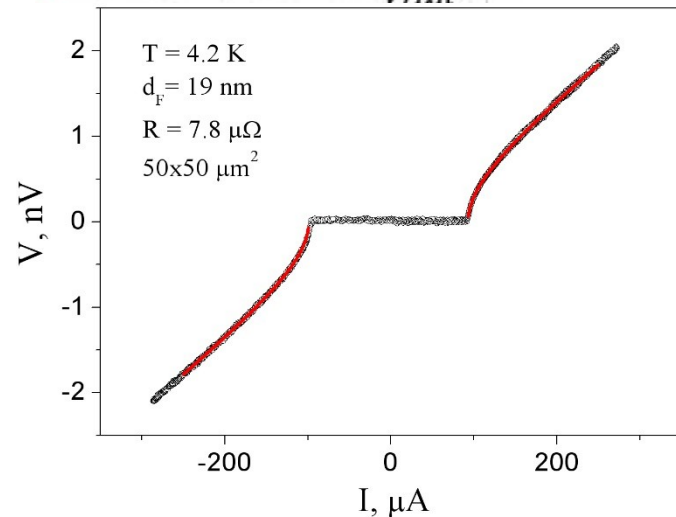
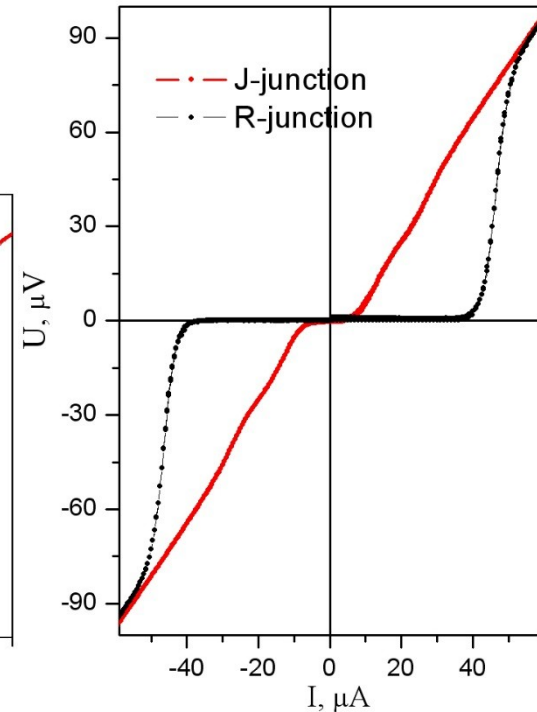
$$U_0(I) = (4\sqrt{2}/3) E_J [1 - (I/I_c)]^{3/2}$$

$$I_c = (2\pi/\Phi_0) \sqrt{n_{s1} n_{s2} H_{1,2}}$$

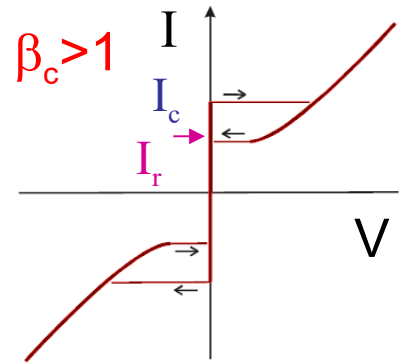
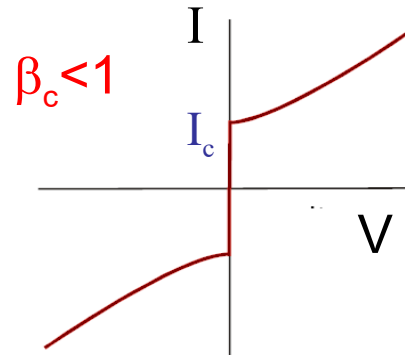
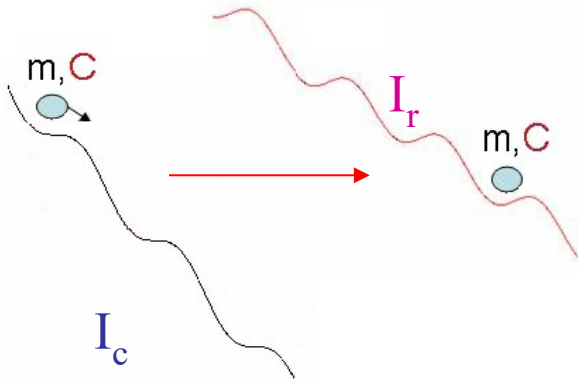
$$\omega_p = (L_J C)^{-1/2}$$



$$\omega_T = \omega(I) \exp\left(-\frac{U_0(I)}{kT}\right)$$

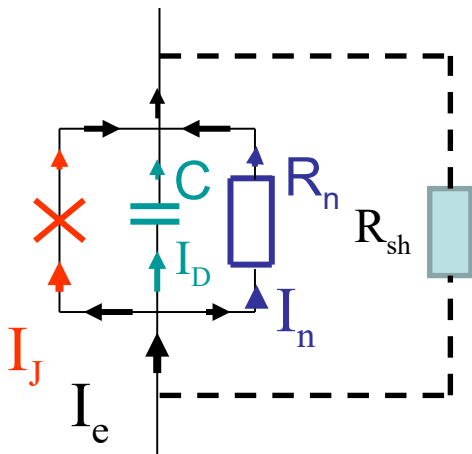


“Ток возврата” в RCSJ-модели



$\beta_c = 1$ определяет границу между вязким (**overdamped**) и периодическим (**underdamped**) режимами

$$\beta_c = \frac{2\pi}{\Phi_0} I_c R_n^2 C$$



$$\beta_c = \frac{2\pi}{\Phi_0} \{I_c R_n\} \quad CR_n = \frac{2\pi V_c}{\Phi_0} CR_n = (\omega_c C) R_n = \frac{R_{dc}}{R_{rf}}$$

$$\beta_c = \omega_c (R_n C) = 2\pi \tau_{RC} / T_J^{(c)}$$

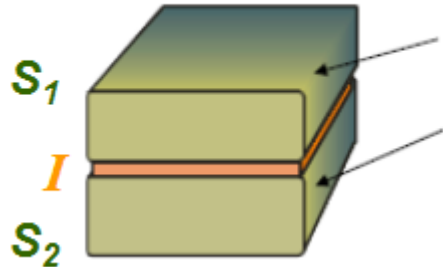
SIS - C и R_n большие,

$$\beta_c \gg 1$$

SNS - $C \approx 0$ и $R_n \approx 0$,

$$\beta_c \ll 1$$

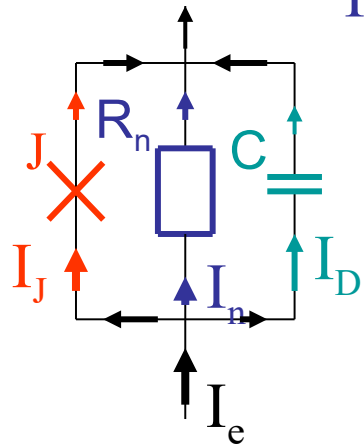
RCSJ-модель



$$I_J = I_c \sin \varphi - \text{джозефсоновский канал}$$

$$I_D = dq/dt = CdU/dt = [\Phi_0 C / 2\pi] \varphi_{tt}$$

$$I_n = U / R_n = [\Phi_0 / 2\pi R] \varphi_t - \text{резистивный канал}; \quad U = [\Phi_0 / 2\pi] \varphi_t$$



$$I_c \sin \varphi + [\Phi_0 / 2\pi R] \varphi_t + [\Phi_0 C / 2\pi] \varphi_{tt} = I_b$$

$$L(0) = \Phi_0 / 2\pi I_c$$

$$\sin \varphi + [\Phi_0 / 2\pi I_c R] \varphi_t + [\Phi_0 C / 2\pi I_c] \varphi_{tt} = I_b / I_c$$

$$t = \tau / \omega_c$$

$$\gamma = \frac{I_b}{I_c}, \quad \tau = \omega_c t$$

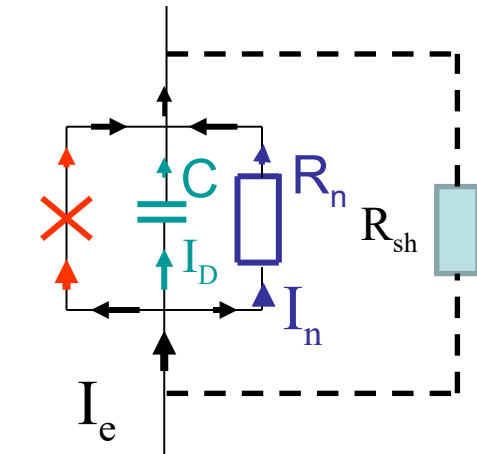
$$\omega_c = \frac{2\pi}{\Phi_0} V_c = \frac{2\pi I_c R_N}{\Phi_0}$$

$$\sin \varphi + \varphi_\tau + \{L_J C\} \omega_c^2 \varphi_{\tau\tau} = \gamma$$

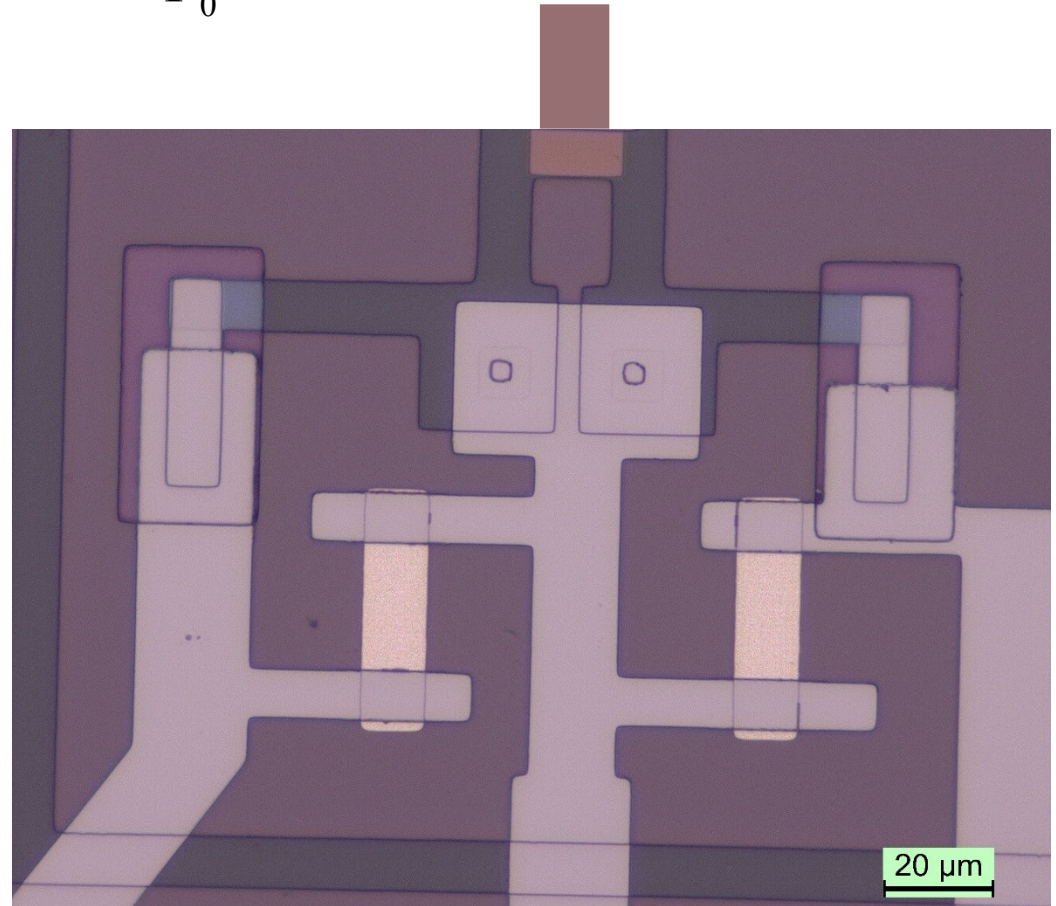
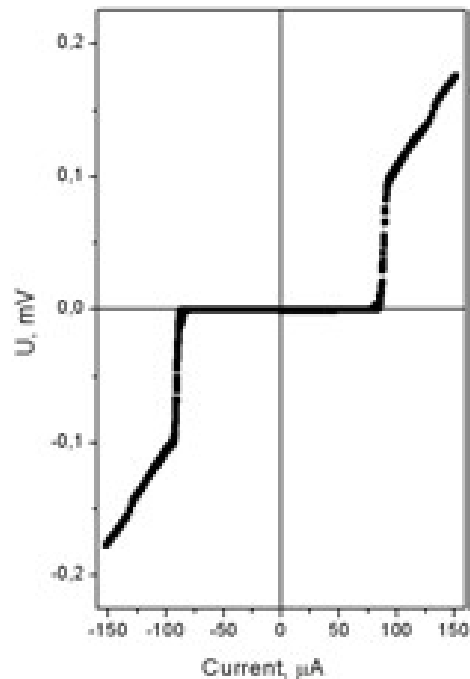
$$\frac{\omega_c^2}{\omega_p^2} = \left[\frac{2\pi I_c R_N}{\Phi_0} \right]^2 \left[\frac{\Phi_0}{2\pi I_c} C \right] = \left(\frac{2\pi}{\Phi_0} \right) I_c R_N^2 C = \beta_c$$

$$\sin \varphi + \varphi_\tau + \beta \varphi_{\tau\tau} = \gamma$$

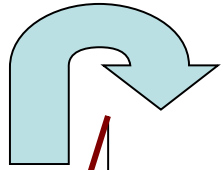
Управление параметром МакКамбера



$$\beta_c = \frac{2\pi}{\Phi_0} I_c R_{sh}^2 C$$



Механическая аналогия 1: маятник



$$[\Phi_0 / 2\pi]^2 C \varphi_{tt} + [\Phi_0 / 2\pi]^2 R^{-1} \varphi_t + E_J \sin \varphi = E_J \gamma$$

Фактически, это **уравнение движения маятника**

$$J \varphi_{tt} + \eta \varphi_t + mgl \sin \varphi = M$$

Маятник

Джозефсоновский переход

Фазовый угол φ

Разность фаз φ

Момент инерции $J = m l^2$

$$[\Phi_0 / 2\pi]^2 C$$

Коэффициент вязкости η

$$[\Phi_0 / 2\pi]^2 R^{-1} = [\Phi_0 / 2\pi]^2 G$$

Возвращающий момент $(m g \sin \varphi) l$

$$E_J \sin \varphi$$

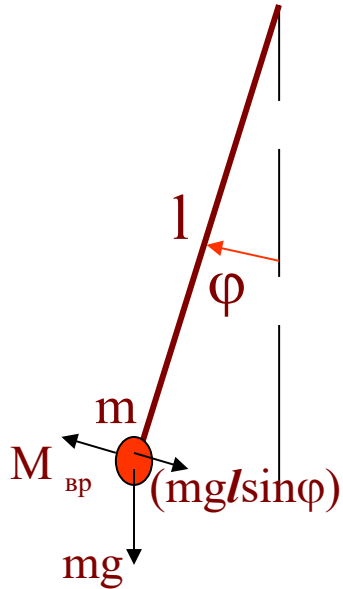
LC-контур

$$\sqrt{I / L_J C}$$

$$\omega_p = \sqrt{E_J / [\Phi_0 / 2\pi]^2 C} = \sqrt{(\Phi_0 I_c / 2\pi) / [\Phi_0 / 2\pi]^2 C} = \sqrt{I / [\Phi_0 / 2\pi I_c] C} = \sqrt{I / L_J C} \quad \frac{E_J (I_b / I_c)}{L_J} = \Phi_0 / 2\pi I_c$$

$$I = \frac{1}{2} m l^2 \quad \Phi_0 = \frac{h c}{2 e} \quad I_c = \frac{2 e \hbar^2}{4 \pi m d} \quad L_J = \frac{\Phi_0^2}{4 \pi I_c} \quad C = \frac{4 \pi^2 \epsilon_0 d}{\Phi_0^2}$$

Джозефсоновская индуктивность: толкнем!



Пусть маятник колеблется около положения равновесия.

$$\varphi = \varphi(t) \rightarrow U = U(t), I = I(t)$$

$$I_J(t) = I_c \sin \{ \varphi_0 - \varphi_I(t) \}$$

$$U(t) = [\Phi_0 / 2\pi] d\varphi_I / dt$$

Индуктивность: $U = -L dI / dt$

$$dI / dt = -U / L$$

$$dI / dt = I_c \cos (\varphi_0 - \varphi_I(t)) \{ -d\varphi_I / dt \} \approx -I_c \cos \varphi_0 \{ 2\pi / \Phi_0 \} U$$

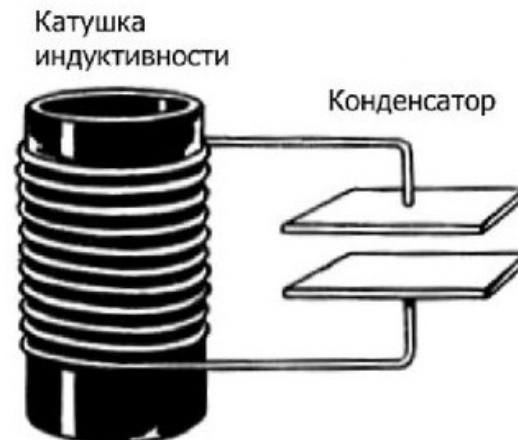
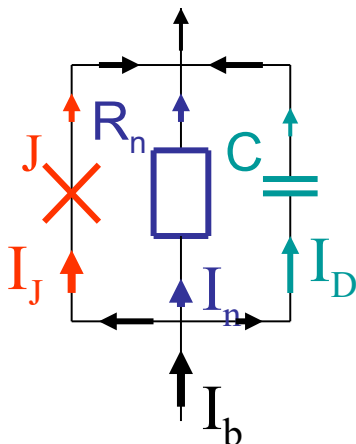
$$U = - \{ \Phi_0 / 2\pi I_c \cos \varphi_0 \} dI / dt$$

$$L(\varphi_0) = \Phi_0 / 2\pi I_c \cos \varphi_0$$

Свободные колебания:

$$L(0) = \Phi_0 / 2\pi I_c$$

$$\varphi_0 \rightarrow \pi/2 \quad L_J \rightarrow \infty$$



Тема 5

Сверхпроводящие кубиты

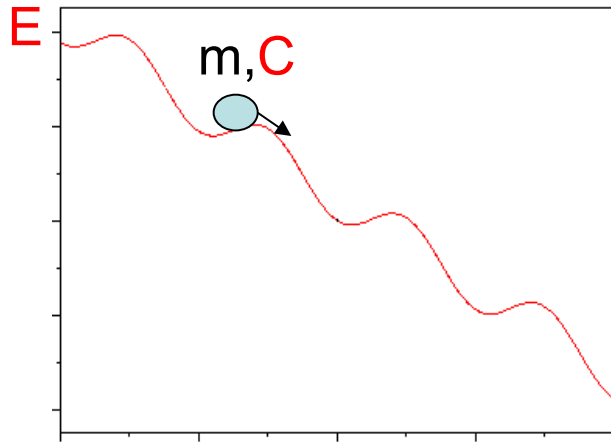
Вторичные эффекты макроскопической квантовой когерентности.

“Кинетическая энергия” джозефсоновского перехода: $J\phi_t^2 \rightarrow [\hbar/(2e)]^2 C \phi_t^2 = CV^2$

это электростатическая (емкостная) энергия “конденсатора”, поскольку $V \sim \phi_t$.

“Уравнение движения” джозефсоновского перехода соответствует движению массивной частицы в периодическом потенциале с

барьерами высотой $2E_J$: $[\hbar/(2e)]^2 C \phi_{tt} + [\hbar/(2e)]^2 R_n^{-1} \phi_t + E_J \sin \phi = E_J(I_c/I_c)$



$$M(d^2x/dt^2) + \eta(dx/dt) + E_J(\sin \phi - I_c/I_c) = 0$$

$$m \sim C \rightarrow 0$$

$$\Delta p \Delta x \leq \hbar \quad (\Delta p = m\Delta v \rightarrow 0) \quad m < 10^{-36} \text{ г} \ll m_e$$

Фиктивная частица станет квантовой!!!

В переходах с малой “массой”, т.е. **с малой емкостью C** в энергии появляется доминирующий кулоновский член:

$$E_c = (2e)^2/(2C)$$

в полной энергии перехода $E = (2e)^2/2C + E_J(1 - \cos \phi) - [\Phi_0/(2\pi)]I\phi$

Зарядовый кубит.

Фазовый кубит

$$E_J = \frac{\hbar I_c}{2e} = \frac{\Phi_0 I_c}{2\pi}$$

Квантовые флуктуации джозефсоновского критического тока

Квантовый (подбарьерный) распад для “квантового”
джозефсоновского перехода

$$\omega_Q = a_q \omega(I) \exp\left(-\alpha \frac{U_0(I)}{\hbar \omega(I)}\right)$$

(распад из основного состояния)

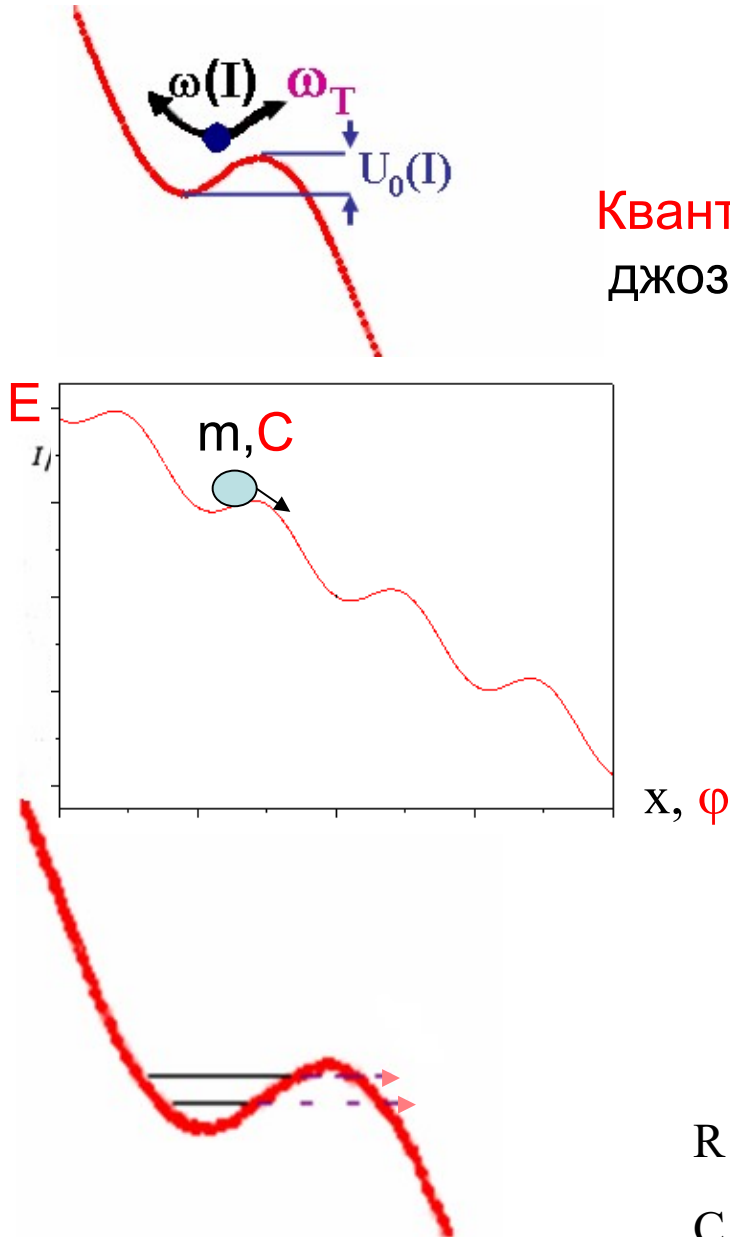
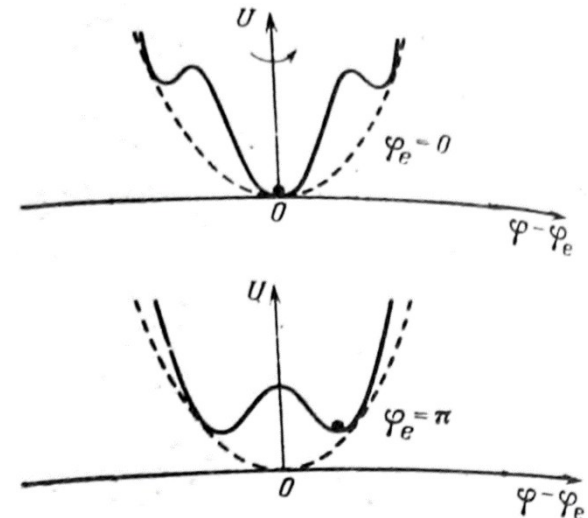
$kT \rightarrow \hbar \omega(I)$, энергия нулевых колебаний

Отдельный JJ

– тоже кубит.

$$R \rightarrow \infty \quad \eta \rightarrow 0$$

$$C \rightarrow 0$$



Аналогия с квантовым маятником.

По аналогии с “квантовым маятником”: при $t \rightarrow 0$ возникают нулевые колебания, поскольку $\Delta\varphi \Delta M \sim \hbar$, где $M = J \varphi_t$ – угловой момент.

(Не может быть состояние без колебаний, когда точно определены $\varphi = 0$ и $M = 0$!)

Дискретный спектр: $E = \hbar\omega(n + 1/2)$

Соотношение неопределенностей для квантового КД

Для джозефсоновского перехода “угловой момент” равен

$$M = J \varphi_t = [\hbar / 2e]^2 C \varphi_t = [\hbar / 2e] C U = Q [\hbar / 2e] \quad Q = CV$$

$$\Delta\varphi \Delta M = \Delta\varphi \Delta Q [\hbar / (2e)] \sim \hbar \rightarrow \Delta\varphi \Delta Q \sim 2e \quad \text{или} \quad \Delta\varphi \Delta n \sim 1$$

где Q – заряд перехода (конденсатора), $n = Q/(2e)$ – избыток сверхпроводящих электронов на одной из обкладок перехода, создающий заряд конденсатора.

